

第 30 回 高分子学会 *NMR* 講座

溶液 *NMR* パルスシーケンスの実装と応用

2018 年 10 月 25 日

13:00 ~ 14:30

かながわ労働プラザ 4F 第 3 会議室

(横浜市立大学) 池上貴久

溶液 *NMR* では
直積演算子 (*product operator*)
で始まり



$$I_x \rightarrow I_x \cos(\omega t) + I_y \sin(\omega t)$$

$$I_x \rightarrow I_x \cos(\pi J t) + 2I_y S_z \sin(\pi J t)$$

溶液 NMR では
直積演算子 (product operator)
で始まり ……

$$I_x \rightarrow I_x \cos(\omega t) + I_y \sin(\omega t)$$

$$I_x \rightarrow I_x \cos(\pi J t) + 2I_y S_z \sin(\pi J t)$$

さらに分からなくなる。。。



以降ではスピン量子数を 1/2 とします

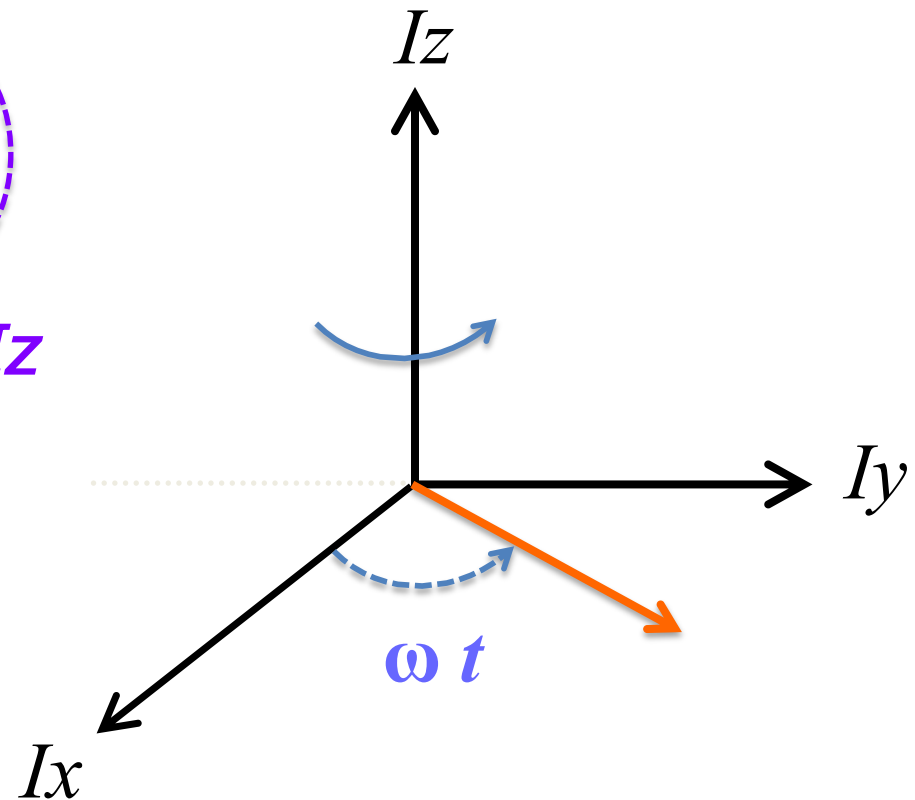
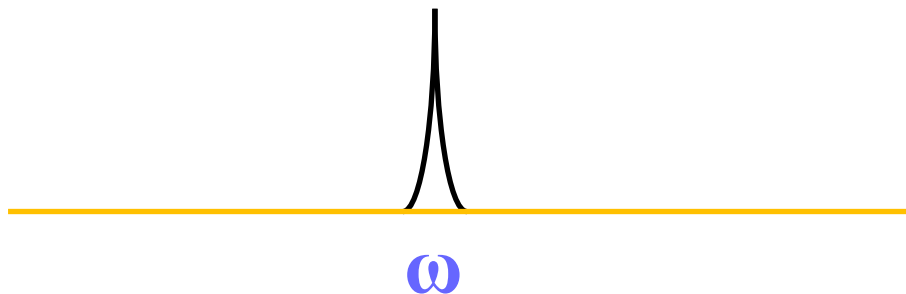
化学シフトの展開

$$I_x \rightarrow I_x \cos(\omega t) + I_y \sin(\omega t)$$

0 度 90 度

$$\mathcal{H} = \omega \cdot I_z$$

回転軸 : I_z



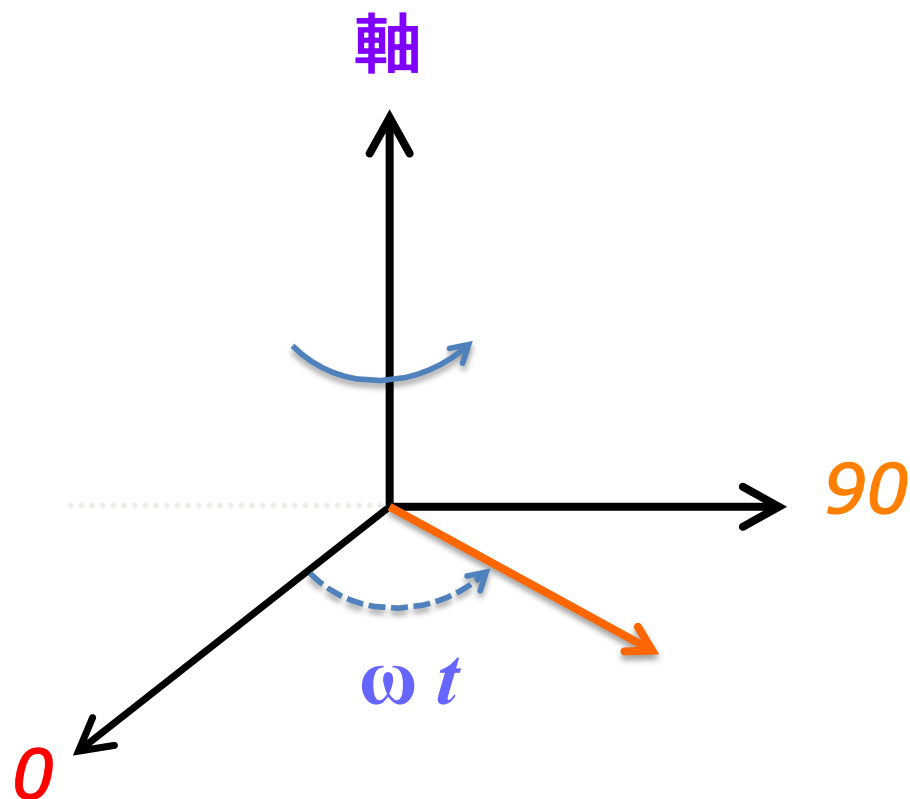
展開の基本

$$I_a \rightarrow I_a \cos(\omega t) + I_b \sin(\omega t)$$

0 度 90 度

$$\mathcal{H} = \omega \cdot I_c$$

軸

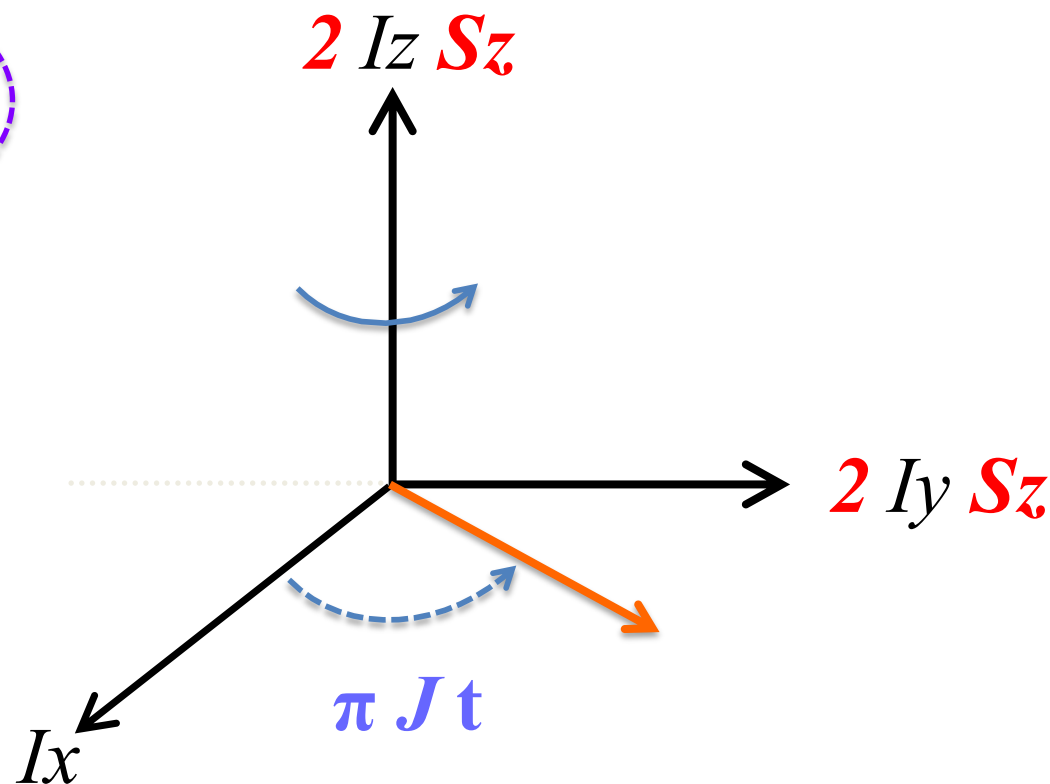
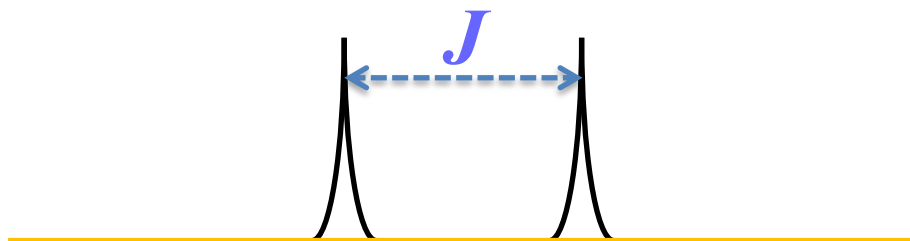


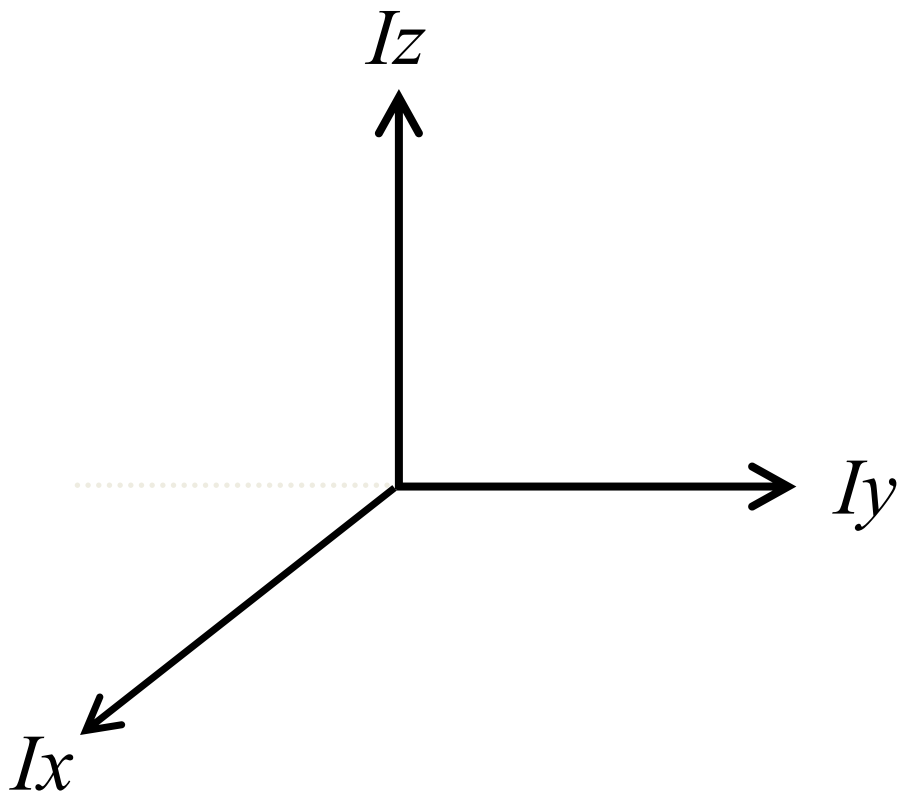
Jカップリングの展開

$$I_x \rightarrow \underbrace{I_x}_{0 \text{ 度}} \cos(\pi J t) + \underbrace{2 I_y S_z}_{90 \text{ 度}} \sin(\pi J t)$$

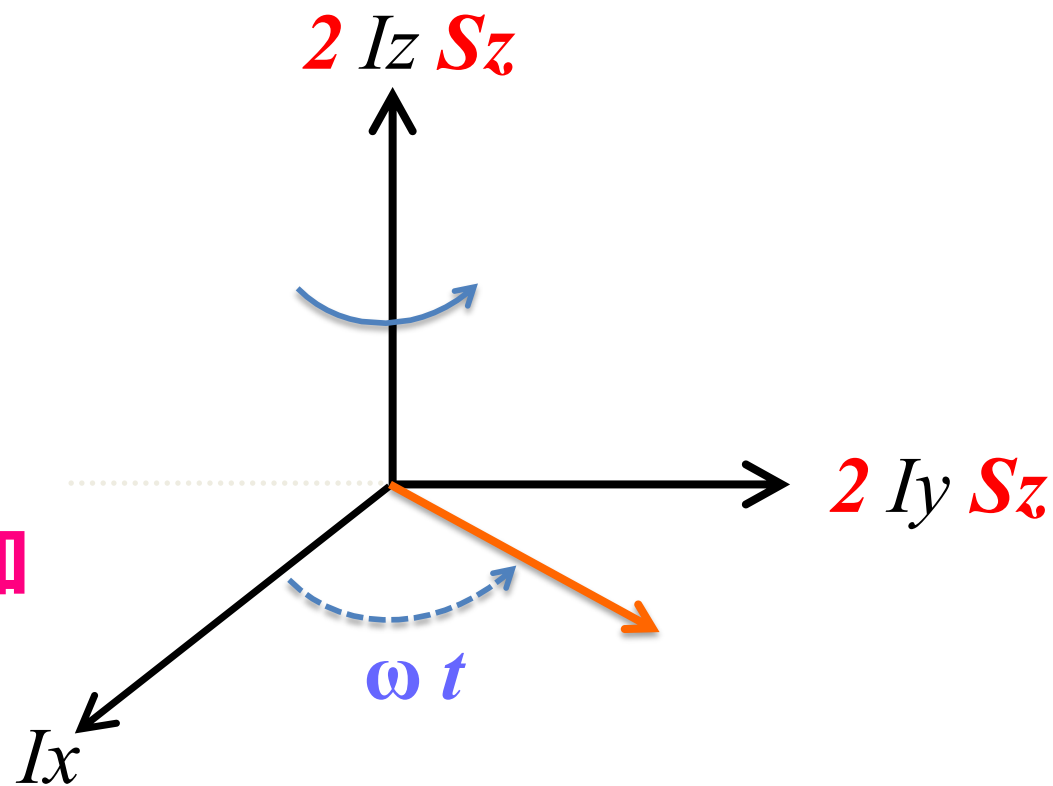
$$\mathcal{H} = \pi J \cdot \underbrace{2 I_z S_z}$$

回転軸 : $(2 I_z S_z)$





軸, 0, 90 を問わず
2本の軸に同じ $2S_{\circ}$ を付加



Jカップリングの「2」「 π 」とは？

$$\mathcal{H} = \pi J \cdot 2IzSz \quad \text{回転軸 : } (2 Iz Sz)$$

rad/s	Hz = s ⁻¹
πJ	$J/2$

$$Ix \rightarrow Ix \cos(\pi J t) + 2IySz \sin(\pi J t) \quad (\text{rad/s})$$

$$Ix \rightarrow Ix \cos\left(\frac{J}{2} t\right) + 2IySz \sin\left(\frac{J}{2} t\right) \quad (\text{Hz})$$

$$I_x \rightarrow I_x \cos(\pi Jt) + 2I_y S_z \sin(\pi Jt)$$

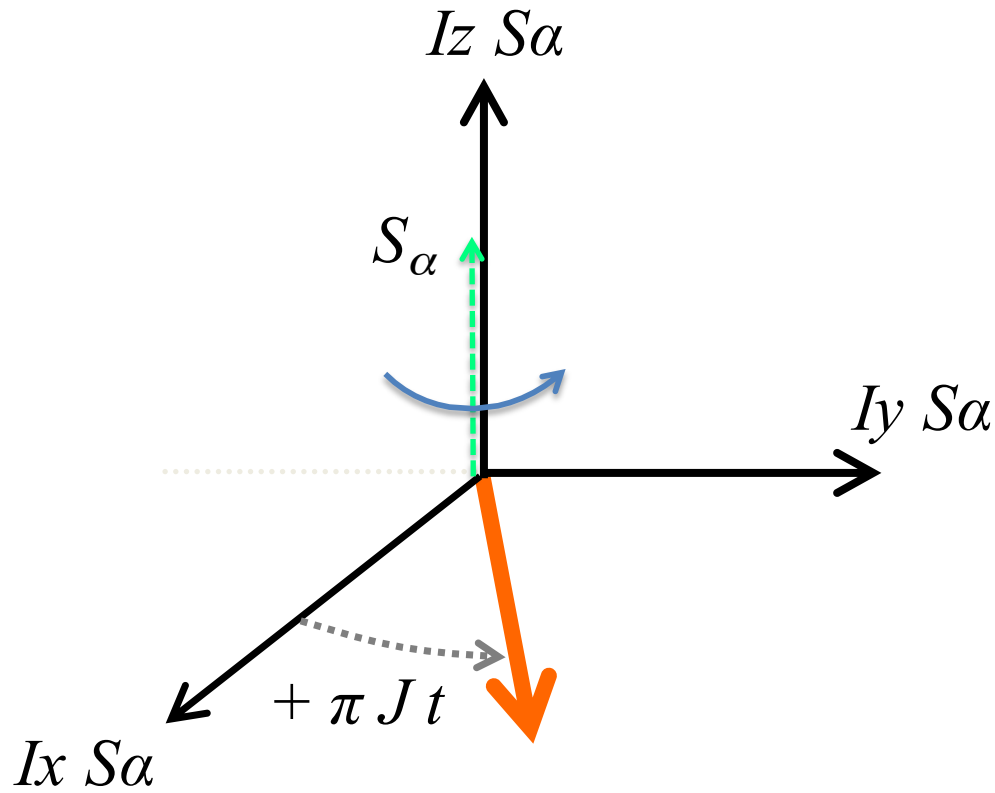
$$\cos(\pi Jt) \begin{bmatrix} 0 & \frac{1}{2} \\ \frac{1}{2} & 0 \end{bmatrix} * \begin{bmatrix} 1 & 0 \\ 0 & 1 \end{bmatrix} + 2 \sin(\pi Jt) \begin{bmatrix} 0 & -\frac{i}{2} \\ \frac{i}{2} & 0 \end{bmatrix} * \begin{bmatrix} \frac{1}{2} & 0 \\ 0 & -\frac{1}{2} \end{bmatrix}$$

I_x
 E
 I_y
 S_z

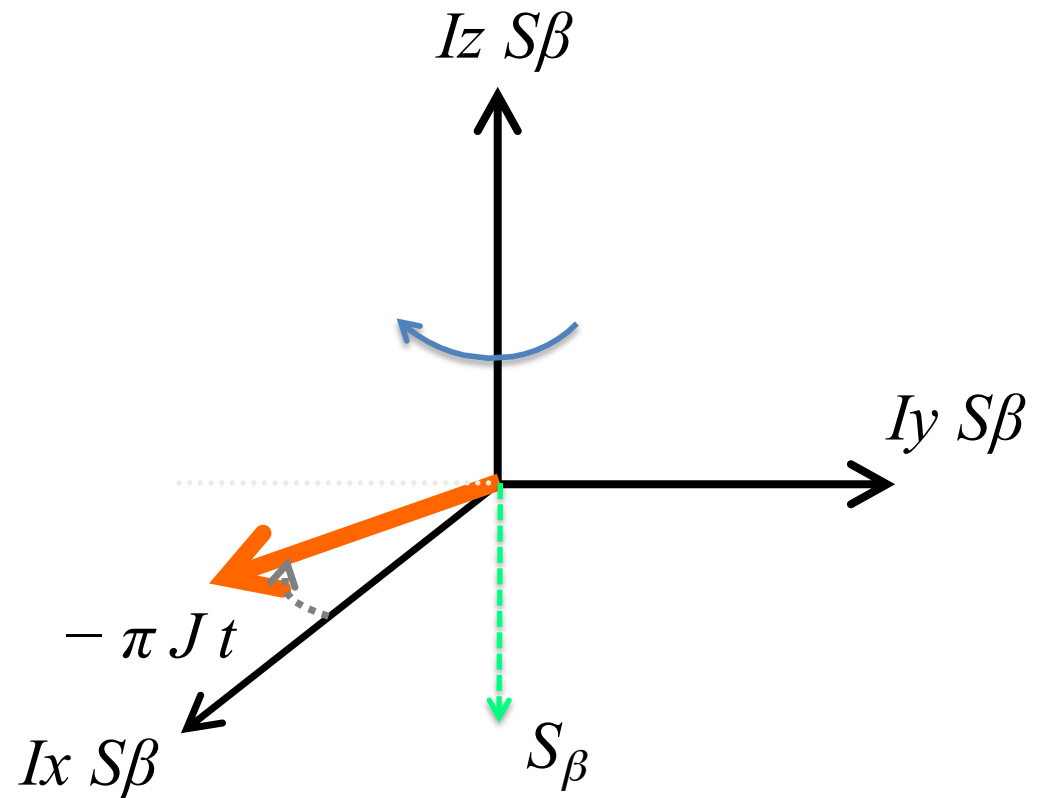
$$\frac{1}{2} \begin{bmatrix} 0 & 0 & 1 & 0 \\ 0 & 0 & 0 & 1 \\ 1 & 0 & 0 & 0 \\ 0 & 1 & 0 & 0 \end{bmatrix} \rightarrow \frac{\cos(\pi Jt)}{2} \begin{bmatrix} 0 & 0 & 1 & 0 \\ 0 & 0 & 0 & 1 \\ 1 & 0 & 0 & 0 \\ 0 & 1 & 0 & 0 \end{bmatrix} + \frac{\sin(\pi Jt)}{2} \begin{bmatrix} 0 & 0 & -i & 0 \\ 0 & 0 & 0 & i \\ i & 0 & 0 & 0 \\ 0 & -i & 0 & 0 \end{bmatrix}$$

$$\frac{1}{2} \begin{bmatrix} 0 & 0 & \exp(-i\pi Jt) & 0 \\ 0 & 0 & 0 & \exp(i\pi Jt) \\ \exp(i\pi Jt) & 0 & 0 & 0 \\ 0 & \exp(-i\pi Jt) & 0 & 0 \end{bmatrix}$$

回轉軸：(Iz Sa)



回轉軸：(Iz Sβ)



$$I_x S_\alpha \rightarrow I_x S_\alpha \cos\left(+\frac{J}{2}t\right) + I_y S_\alpha \sin\left(+\frac{J}{2}t\right)$$

$$I_x S_\beta \rightarrow I_x S_\beta \cos\left(-\frac{J}{2}t\right) + I_y S_\beta \sin\left(-\frac{J}{2}t\right)$$

$$I_x S_\alpha \rightarrow I_x S_\alpha \cos\left(+\frac{J}{2}t\right) + I_y S_\alpha \sin\left(+\frac{J}{2}t\right)$$

$$I_x S_\beta \rightarrow I_x S_\beta \cos\left(-\frac{J}{2}t\right) + I_y S_\beta \sin\left(-\frac{J}{2}t\right)$$

$$I_x S_\alpha + I_x S_\beta \rightarrow (I_x S_\alpha + I_x S_\beta) \cos\left(\frac{J}{2}t\right) + (I_y S_\alpha - I_y S_\beta) \sin\left(\frac{J}{2}t\right)$$

$$S_\alpha + S_\beta = E = 1$$

$$S_\alpha - S_\beta = 2S_z$$

$$S_\alpha = \begin{pmatrix} 1 & 0 \\ 0 & 0 \end{pmatrix} \quad S_\beta = \begin{pmatrix} 0 & 0 \\ 0 & 1 \end{pmatrix}$$

$$I_x \rightarrow I_x \cos\left(\frac{J}{2}t\right) + 2I_y S_z \sin\left(\frac{J}{2}t\right)$$

同位相

逆位相

TOCSY, strong-coupling など

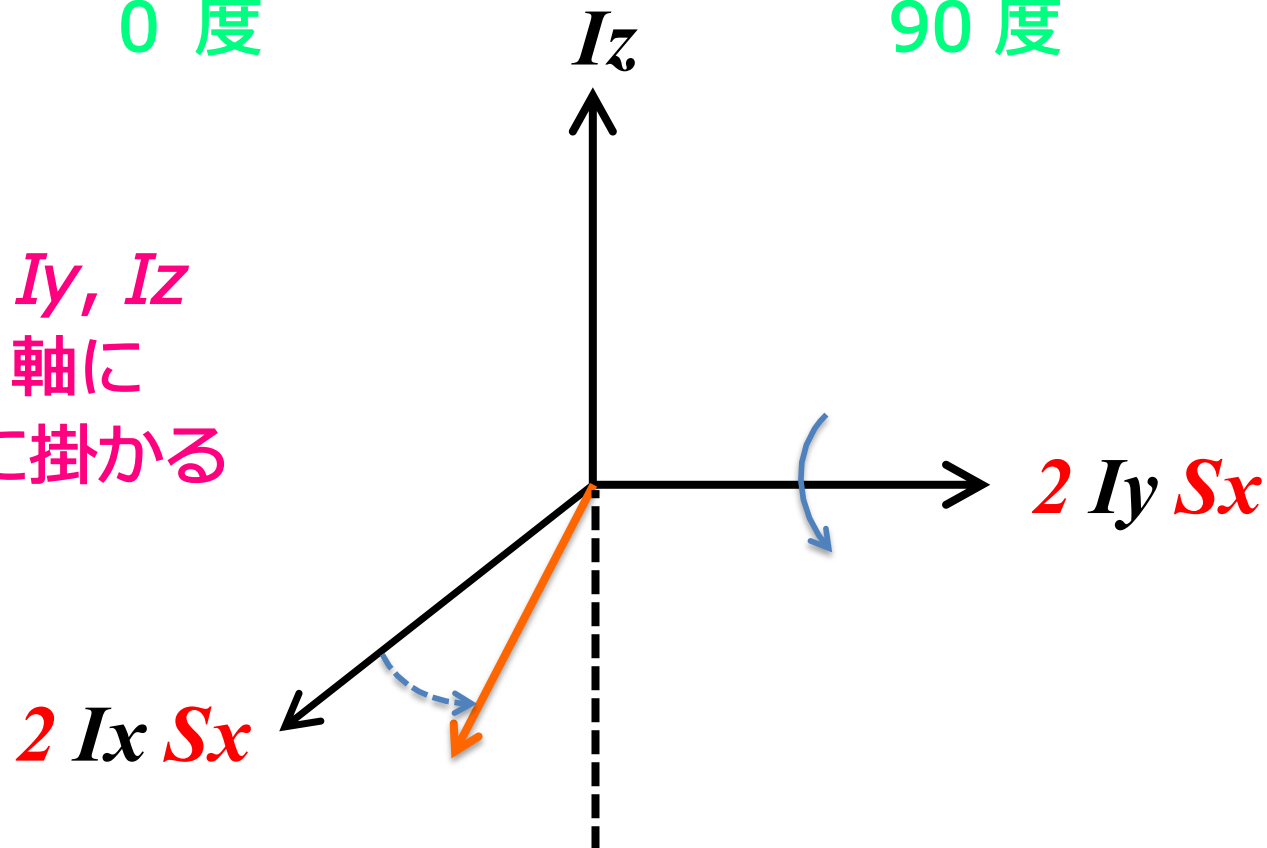
$$\mathcal{H} = \pi J \cdot 2I_y S_x \quad \text{回転軸 : } (2 I_y S_x)$$

$$2I_x S_x \rightarrow 2I_x S_x \cos(\pi J t) - I_z \sin(\pi J t)$$

0 度

90 度

直交する I_x, I_y, I_z
軸のうち、2軸に
 $2S_{\circ}$ が共通に掛かる



溶液 NMR

異種核 2 スピン系

$$\mathcal{H} = \omega_I \cdot I_z + \omega_S \cdot S_z + \pi J \cdot 2I_z S_z$$

I の化学シフトの展開

S の化学シフトの展開

J_{IS} カップリングの展開

同種核 2 スピン系

$$\mathcal{H} = \omega_I \cdot I_z + \omega_S \cdot S_z + \pi J \cdot 2(I_x S_x + I_y S_y + I_z S_z)$$

化学シフトとは独立に回転させることができない

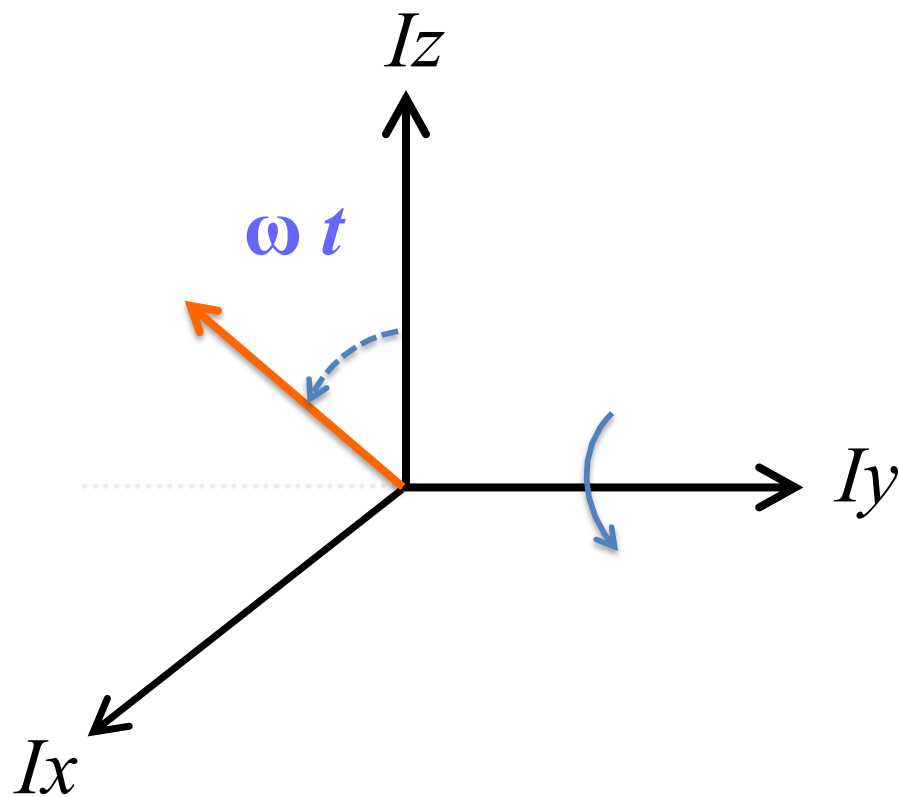
Strong coupling → 座標を傾けて有効磁場を作る

パルスによる展開

$$I_z \rightarrow \underbrace{I_z}_{0 \text{ 度}} \cos(\omega t) + \underbrace{I_x}_{90 \text{ 度}} \sin(\omega t)$$

$$\mathcal{H} = \omega \cdot \underbrace{I_y}$$

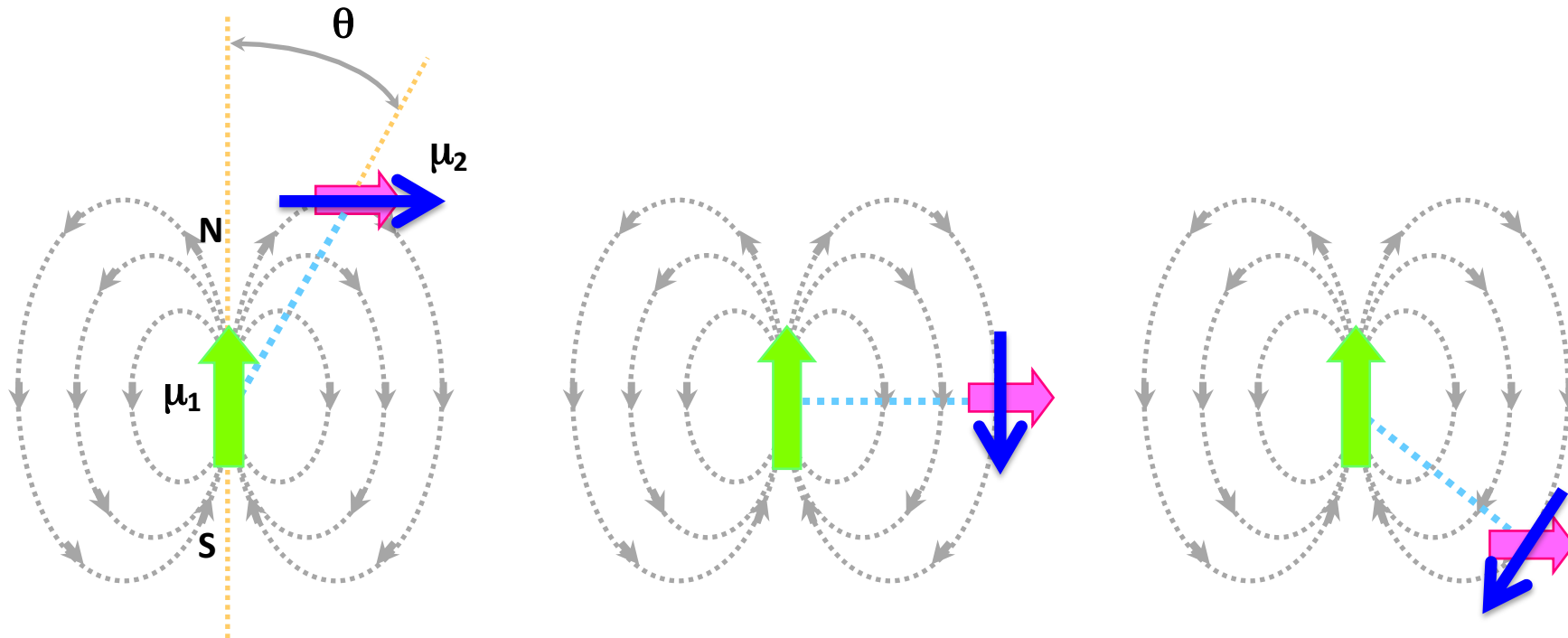
回転軸は I_y




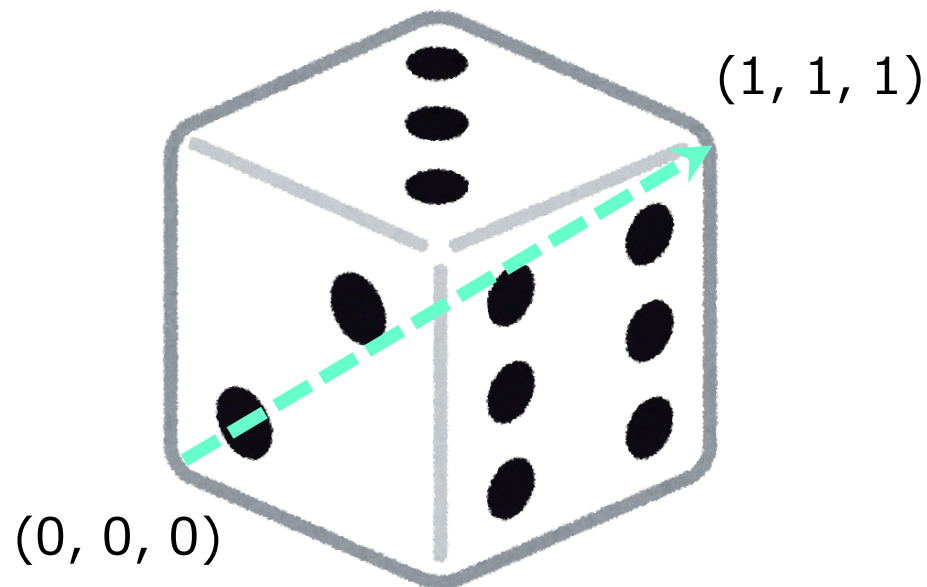
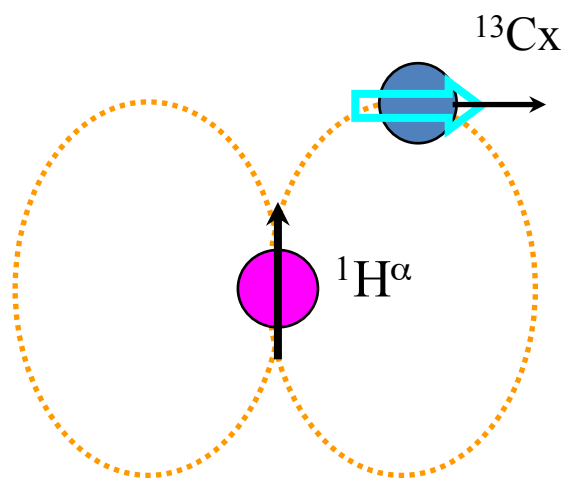
核スピン μ_1  により生じた双極子磁場  により
核スピン μ_2  が影響を受ける。

核スピンの共鳴位置に
影響を与える双極子磁場

$$\propto \frac{\mu_1 \mu_2}{r^3} (3 \cos^2 \theta - 1)$$



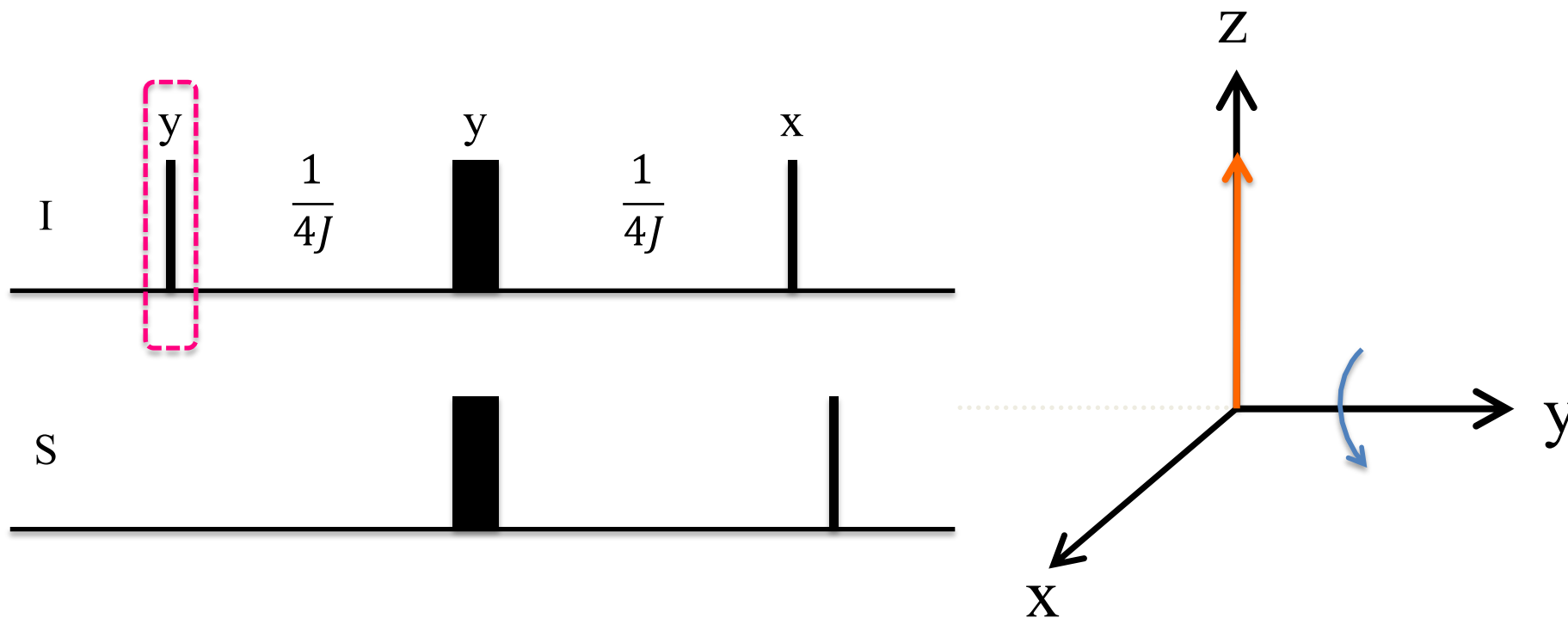
分子の回転により双極子（局所）磁場の向きと大きさが変化する
 を全て足すと0になる。



$$3\cos^2(54.7356) - 1 = 0$$

magic-角に沿って回すと、 x , y , z 軸を平等に回したのに似た効果を得られる

INEPT (*In*ensitive *Nu*clei *En*hanced by *Po*larization *Tr*ansfer)



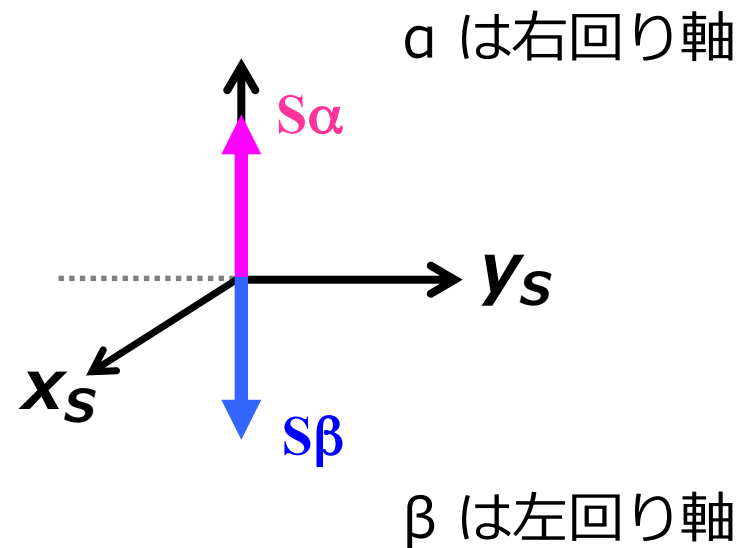
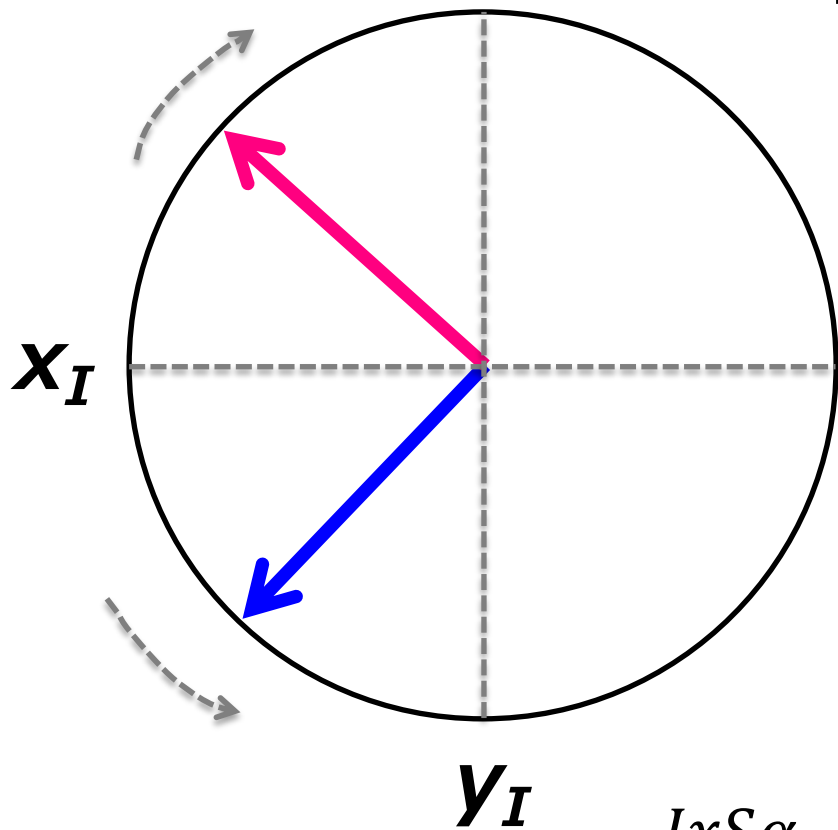
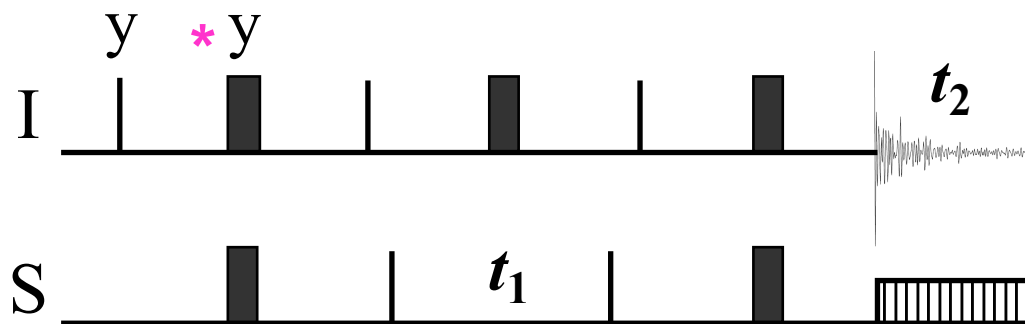
$$Iz \rightarrow Iz \cos(\omega t) + Ix \sin(\omega t) \rightarrow Ix$$

$$\omega t = 90^\circ$$

$$(t = p1)$$

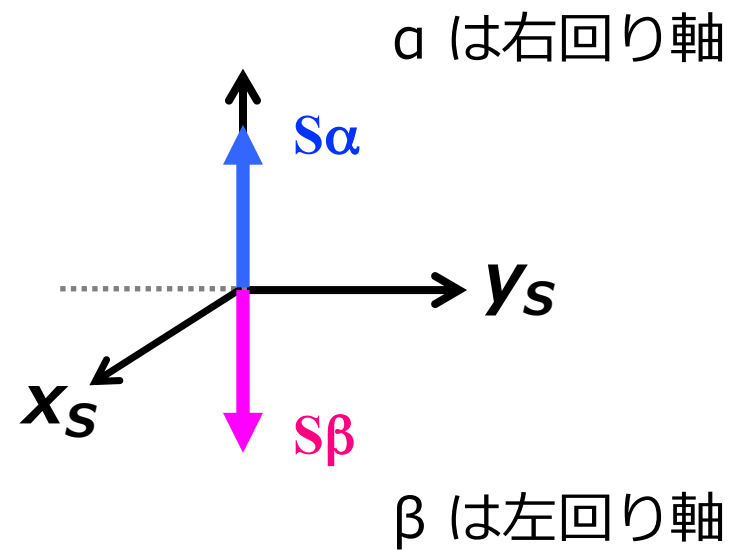
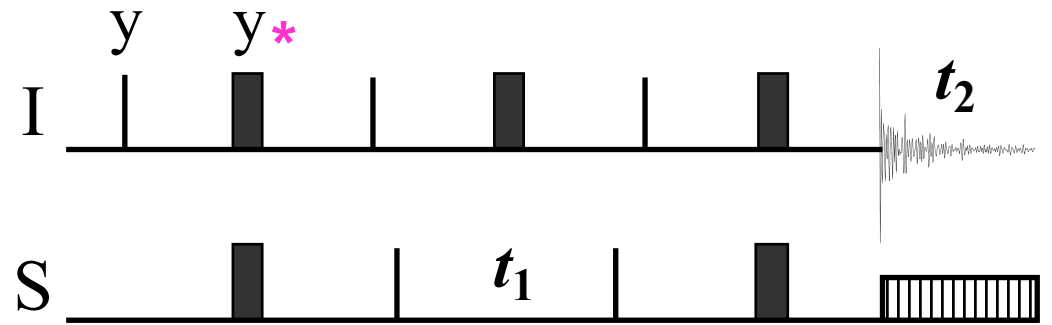
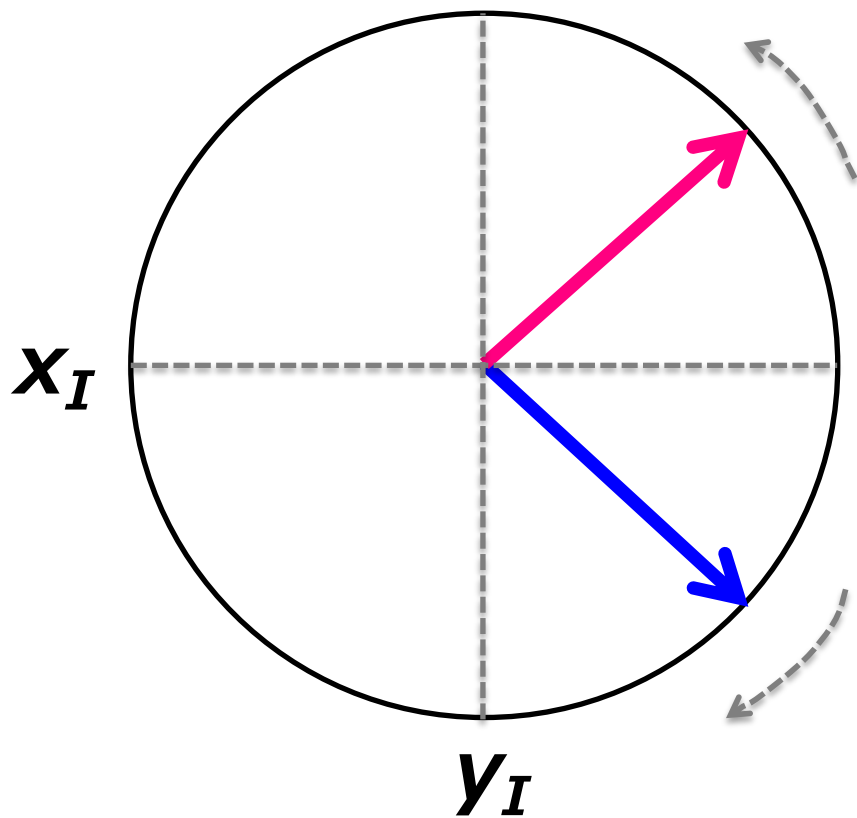
J-カップリングによる展開 (前半の $1/(4J)$)

化学シフトによる展開
は無しとする。



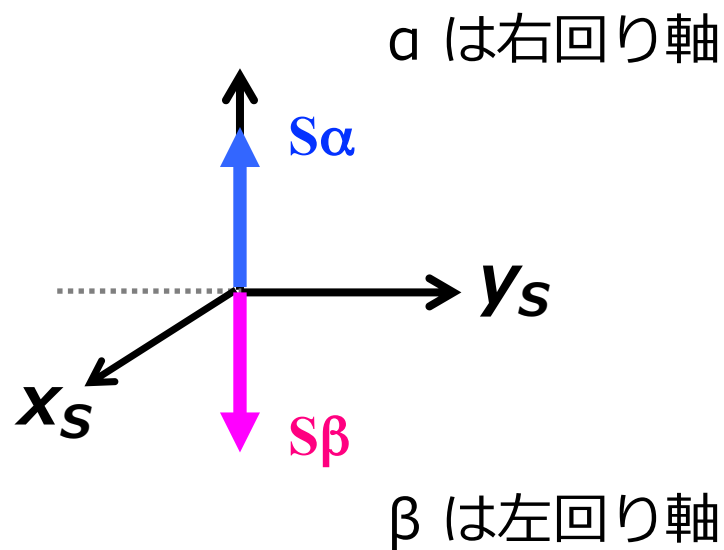
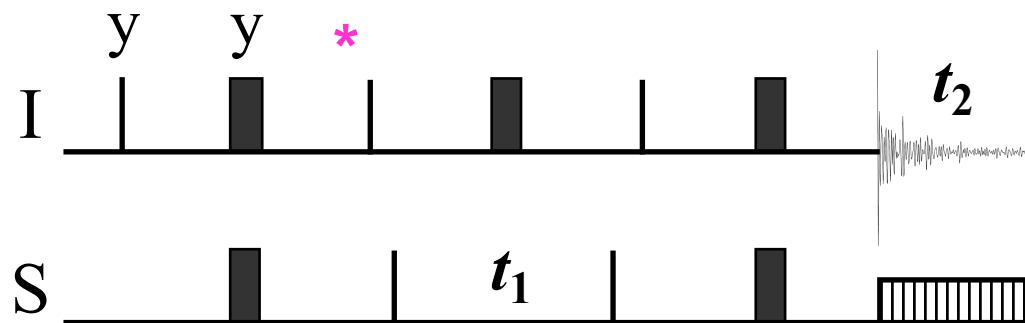
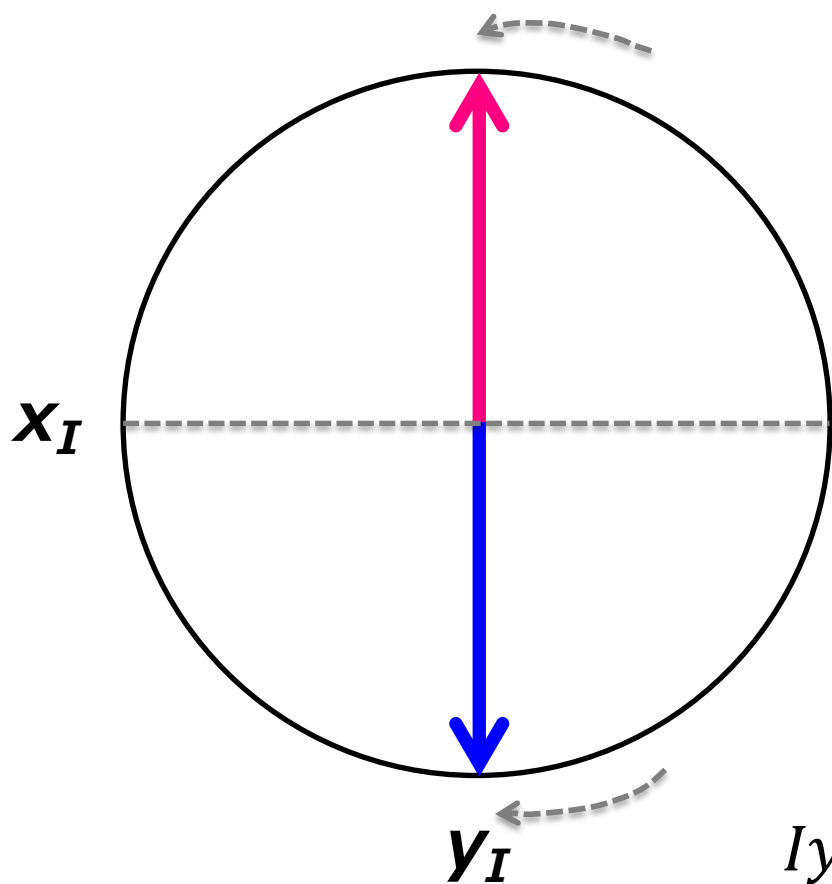
$$IxS\alpha + IxS\beta = Ix (S\alpha + S\beta) = Ix$$

I と S の同時反転



J-カップリングによるさらなる展開 (後半の $1/(4J)$)

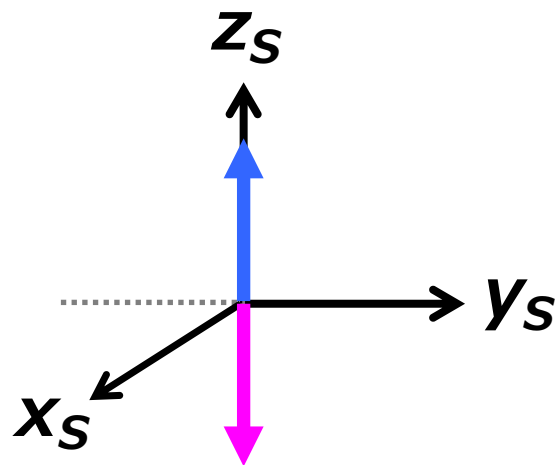
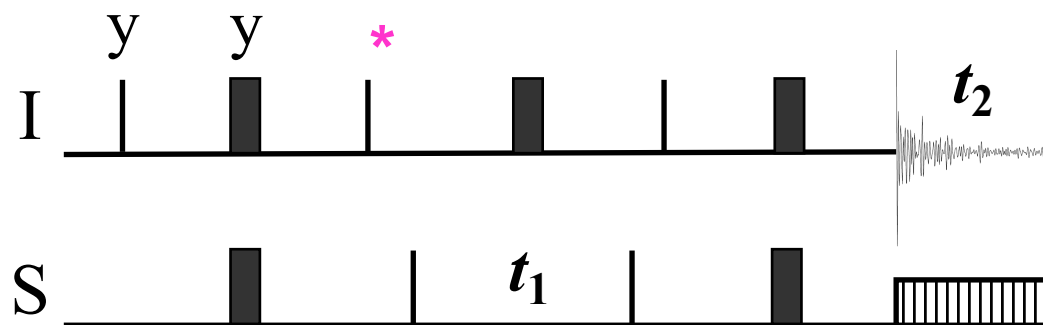
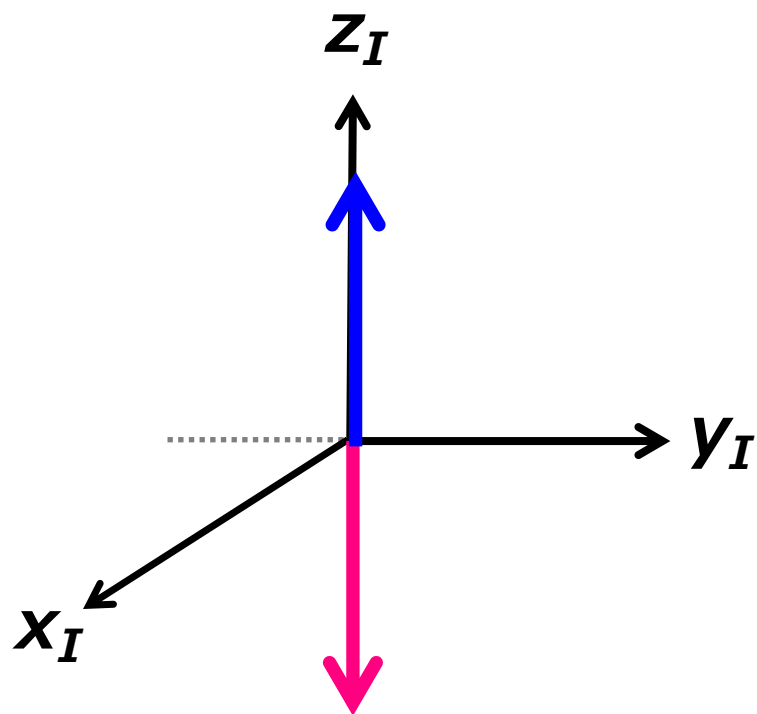
$2 I_y S_z$
anti-phase



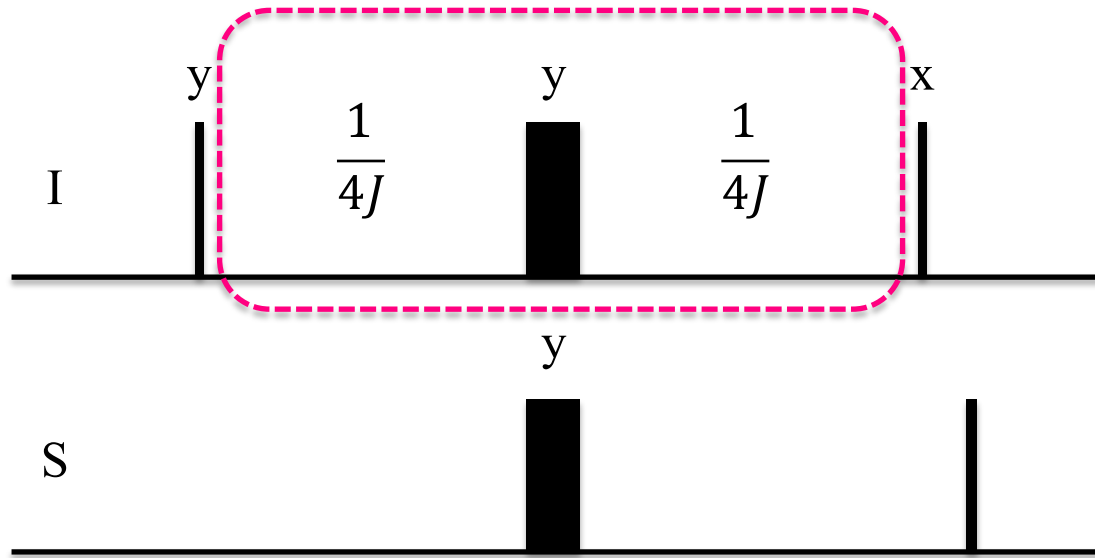
$$I_y S \alpha - I_y S \beta = I_y (S \alpha - S \beta) = 2 I_y S_z$$

磁化移動のど真ん中

$2 I_z S_z$
two-spin order



I の二重線のうち一方  だけを反転させたのに等しい

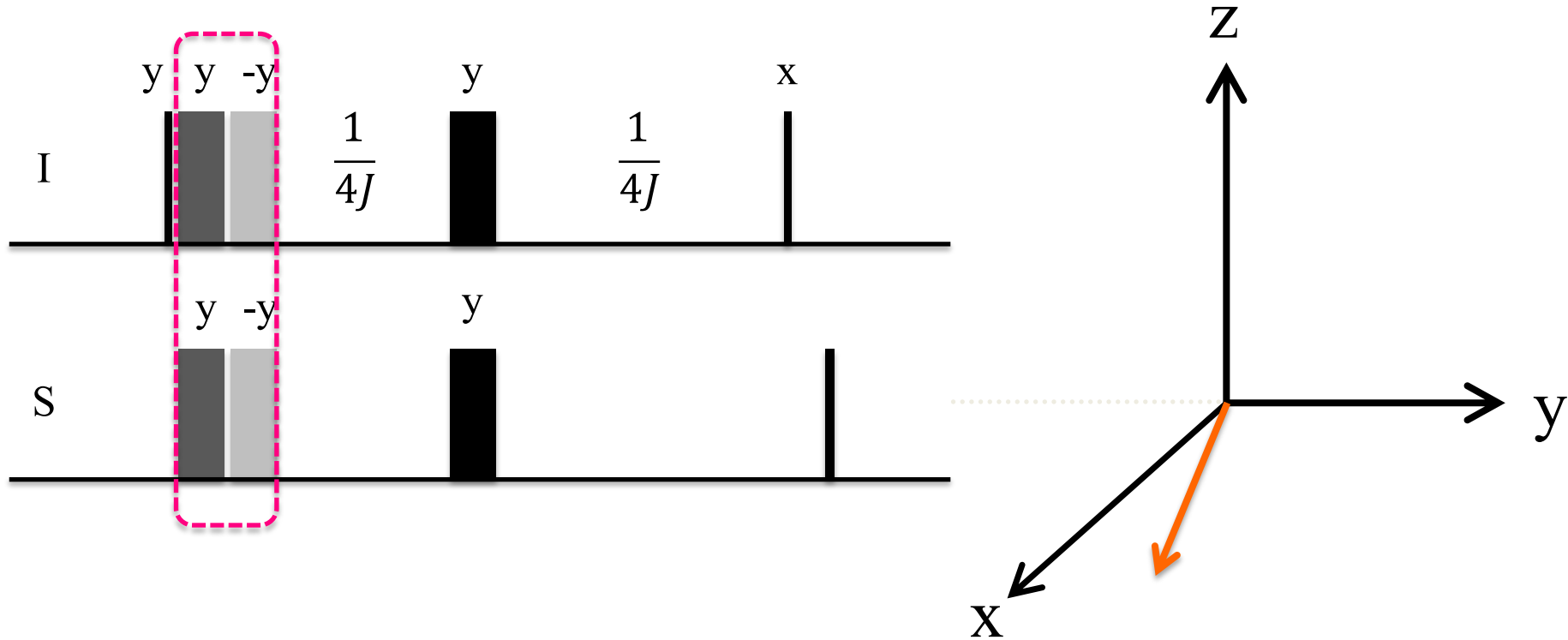


$$U(\tau) = \exp\left(i\mathcal{H} \frac{\tau}{2}\right) \cdot R_{180 \cdot I_y \cdot 180 \cdot S_y} \cdot \exp\left(i\mathcal{H} \frac{\tau}{2}\right)$$

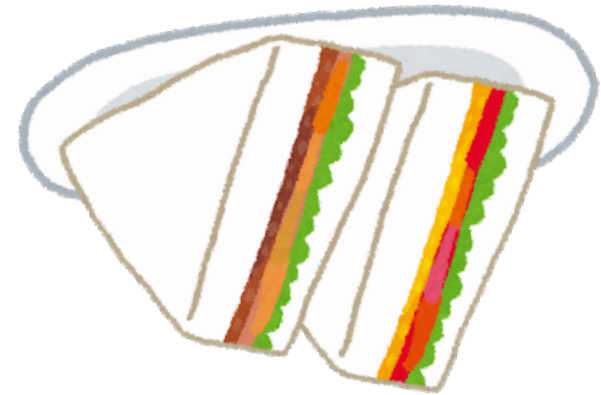
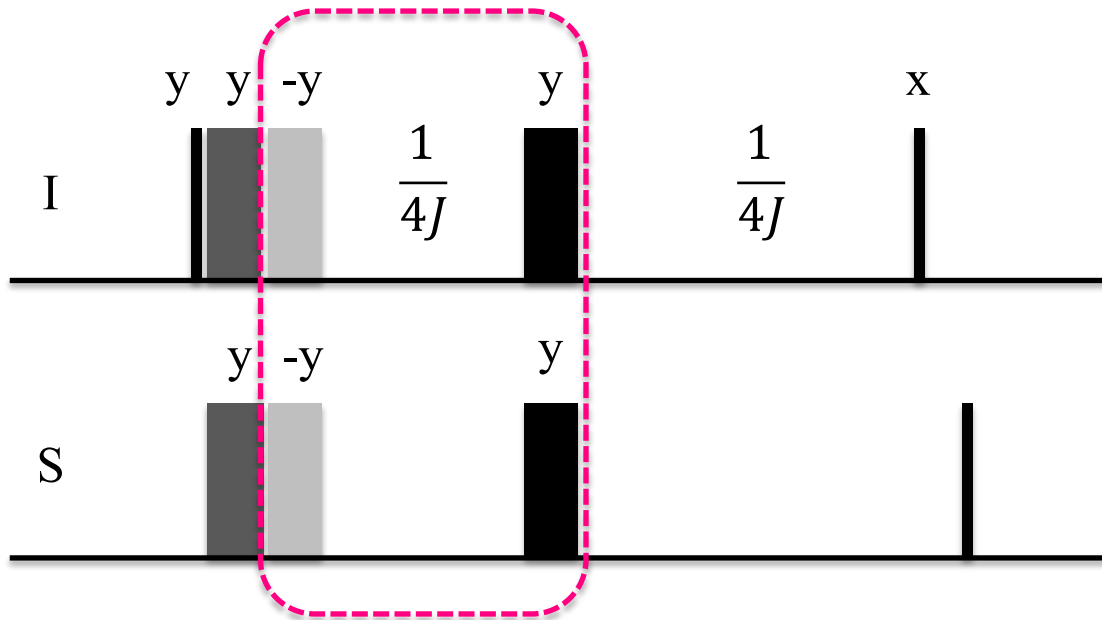
$$R_{180 \cdot I_y \cdot 180 \cdot S_y} = \exp(i\pi I_y) \cdot \exp(i\pi S_y) = \exp(i\pi I_y + i\pi S_y)$$

幸い I と S は異種核どうしなので、別々に計算できる。

π_y と π_{-y} を並べて付け加えても何も影響は無いはず

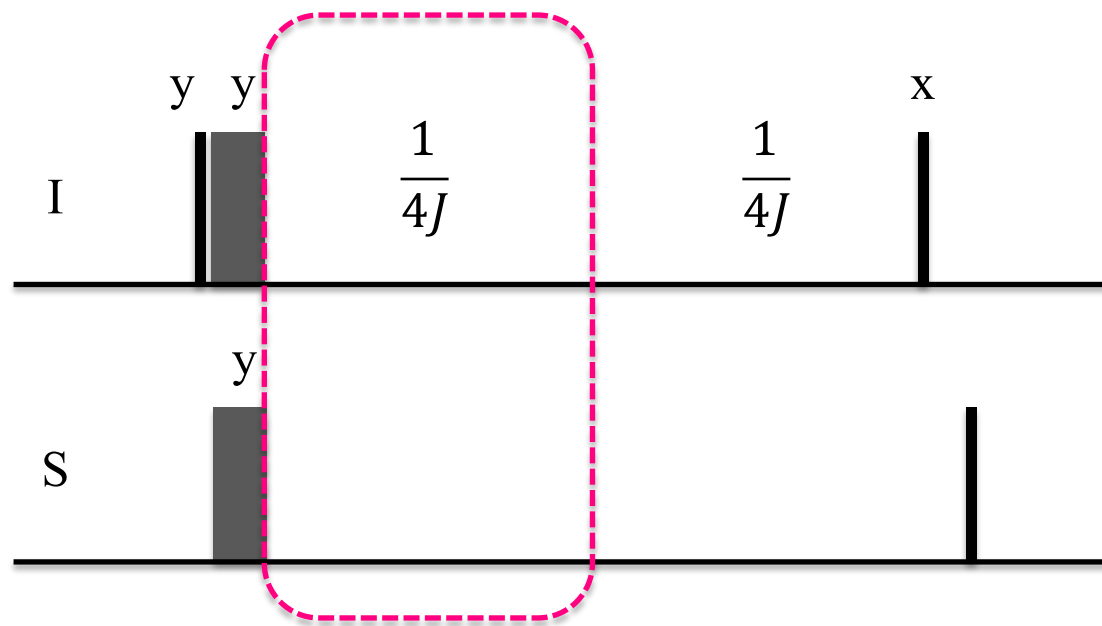


$$\begin{aligned}
 U(\tau) &= \exp\left(i\mathcal{H}\frac{\tau}{2}\right) \cdot R_{180 \cdot I_y \cdot 180 \cdot S_y} \cdot \exp\left(i\mathcal{H}\frac{\tau}{2}\right) \\
 &= \boxed{R_{180 \cdot I_y \cdot 180 \cdot S_y} \cdot R_{-180 \cdot I_y \cdot -180 \cdot S_y}} \cdot \exp\left(i\mathcal{H}\frac{\tau}{2}\right) \cdot R_{180 \cdot I_y \cdot 180 \cdot S_y} \cdot \exp\left(i\mathcal{H}\frac{\tau}{2}\right)
 \end{aligned}$$



$$\begin{aligned}
 U(\tau) &= \exp\left(i\mathcal{H}\frac{\tau}{2}\right) \cdot R_{180 \cdot I_y \cdot 180 \cdot S_y} \cdot \exp\left(i\mathcal{H}\frac{\tau}{2}\right) \\
 &= R_{180 \cdot I_y \cdot 180 \cdot S_y} \cdot \boxed{R_{-180 \cdot I_y \cdot -180 \cdot S_y} \cdot \exp\left(i\mathcal{H}\frac{\tau}{2}\right) \cdot R_{180 \cdot I_y \cdot 180 \cdot S_y}} \cdot \exp\left(i\mathcal{H}\frac{\tau}{2}\right)
 \end{aligned}$$

$\pi_{x/y}$ と $\pi_{-x/-y}$ で挟むと H の回転軸を反転できる



$$(R_{-180 \cdot I_y \cdot -180 \cdot S_y}) \cdot \mathcal{H} \cdot (R_{180 \cdot I_y \cdot 180 \cdot S_y})$$

$$= \{ \exp(-i\pi I_y - i\pi S_y) \} \cdot (\omega_I \cdot I_z + \omega_S \cdot S_z + \pi J \cdot 2I_z S_z) \cdot \{ \exp(i\pi I_y + i\pi S_y) \}$$

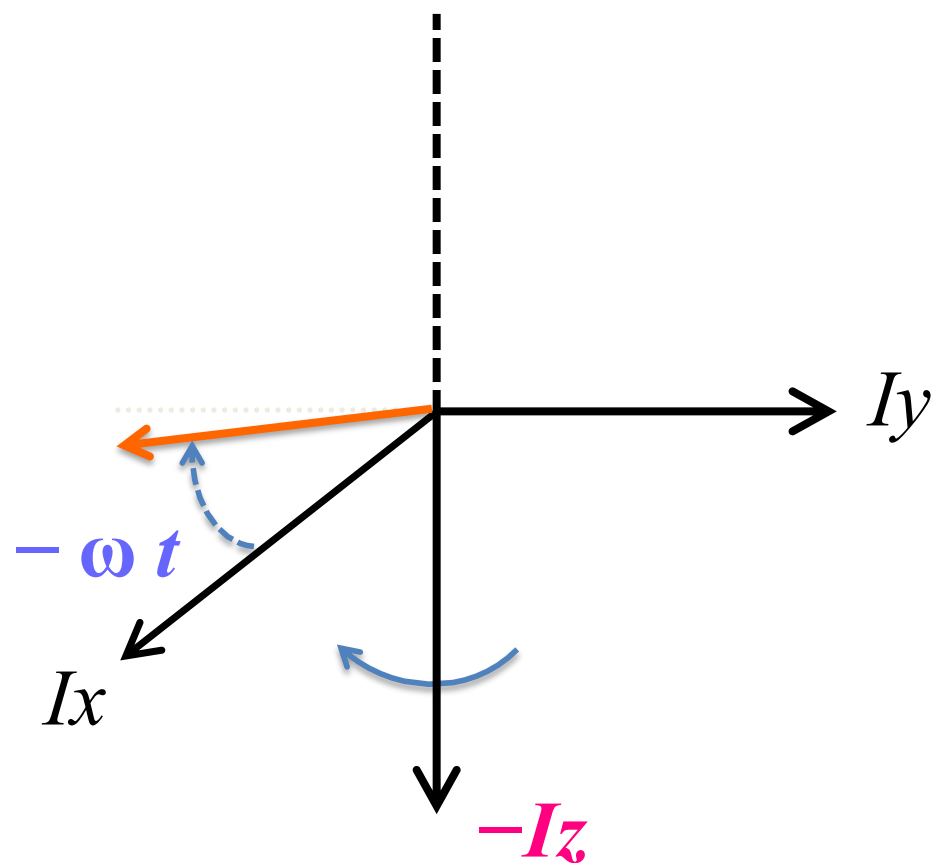
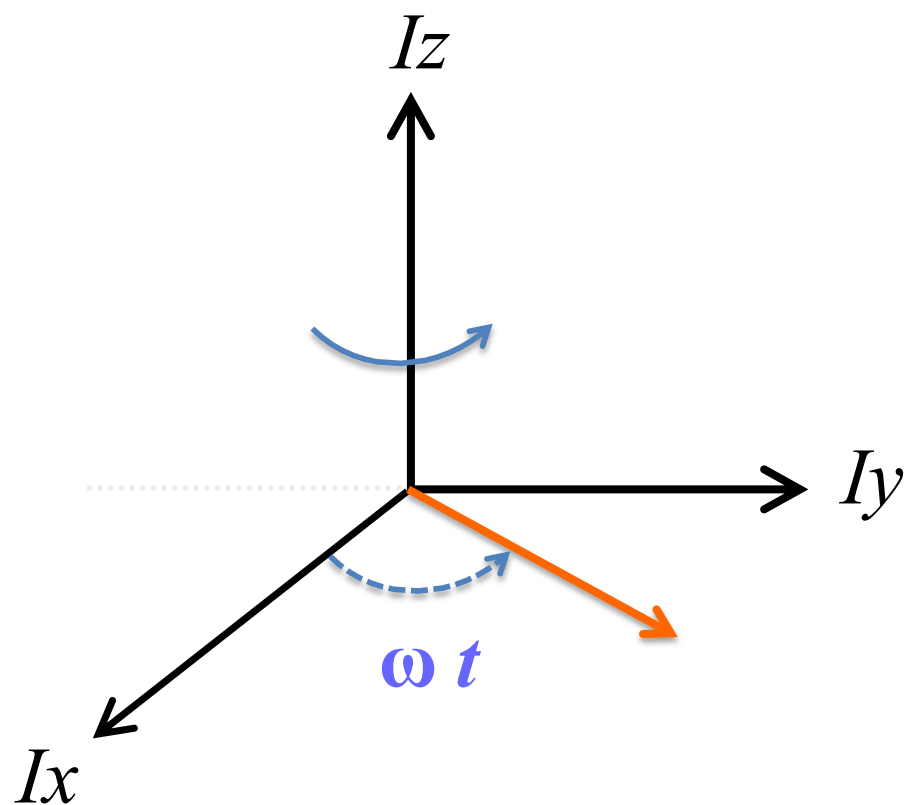
$$= -\omega_I \cdot I_z - \omega_S \cdot S_z + \pi J \cdot 2I_z S_z$$

**I と S の化学シフトの軸 I_z と S_z をひっくり返した
 = I と S の化学シフトを逆向きに回した**

$-Iz$ を軸に回転 = $-\omega$ で回転

$$\mathcal{H} = \omega \cdot Iz$$

$$\mathcal{H} = -\omega \cdot Iz$$



前半の $\frac{J}{4}$

後半の $\frac{J}{4}$

$$R_{180 \cdot I_y \cdot 180 \cdot S_y} \cdot \left\{ R_{-180 \cdot I_y \cdot -180 \cdot S_y} \cdot \exp\left(i\mathcal{H} \frac{\tau}{2}\right) \cdot R_{180 \cdot I_y \cdot 180 \cdot S_y} \right\} \cdot \exp\left(i\mathcal{H} \frac{\tau}{2}\right)$$

$$= R_{180 \cdot I_y \cdot 180 \cdot S_y} \cdot \exp\left\{i(-\omega_I \cdot I_z - \omega_S \cdot S_z + \pi J \cdot 2I_z S_z) \frac{\tau}{2}\right\}$$

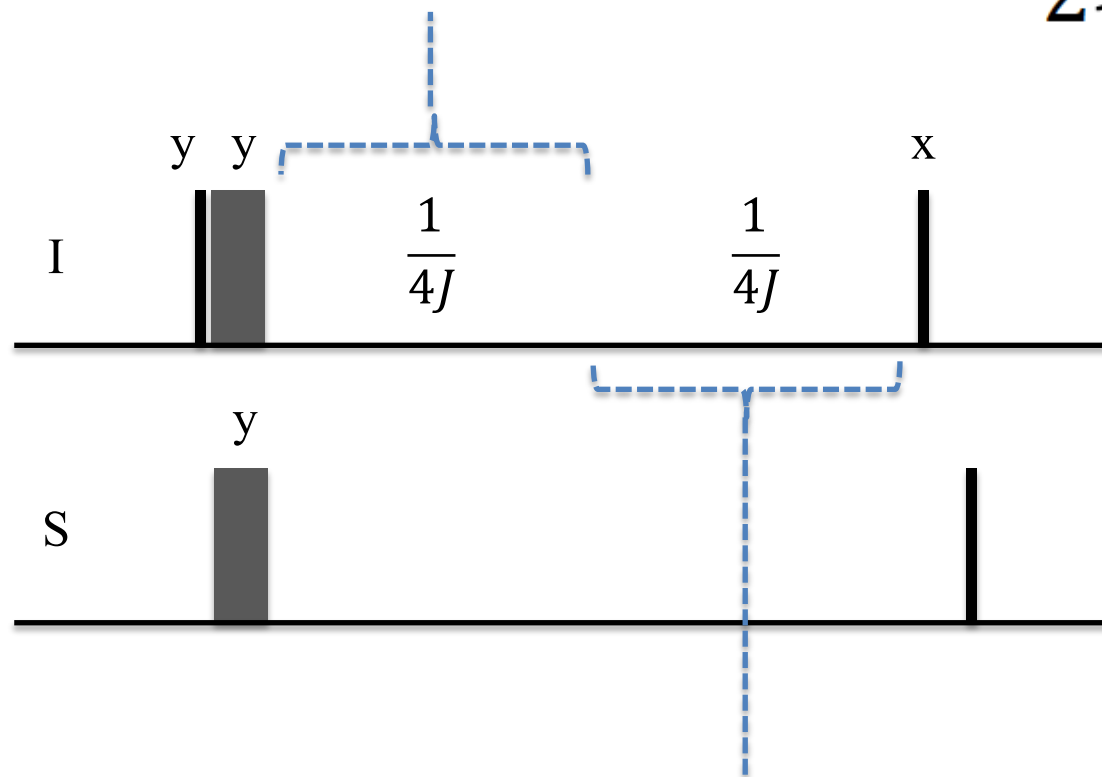
$$\cdot \exp\left\{i(+\omega_I \cdot I_z + \omega_S \cdot S_z + \pi J \cdot 2I_z S_z) \frac{\tau}{2}\right\}$$

$$= R_{180 \cdot I_y \cdot 180 \cdot S_y} \cdot \exp\{i(\pi J \cdot 2I_z S_z) \tau\}$$

気にしない

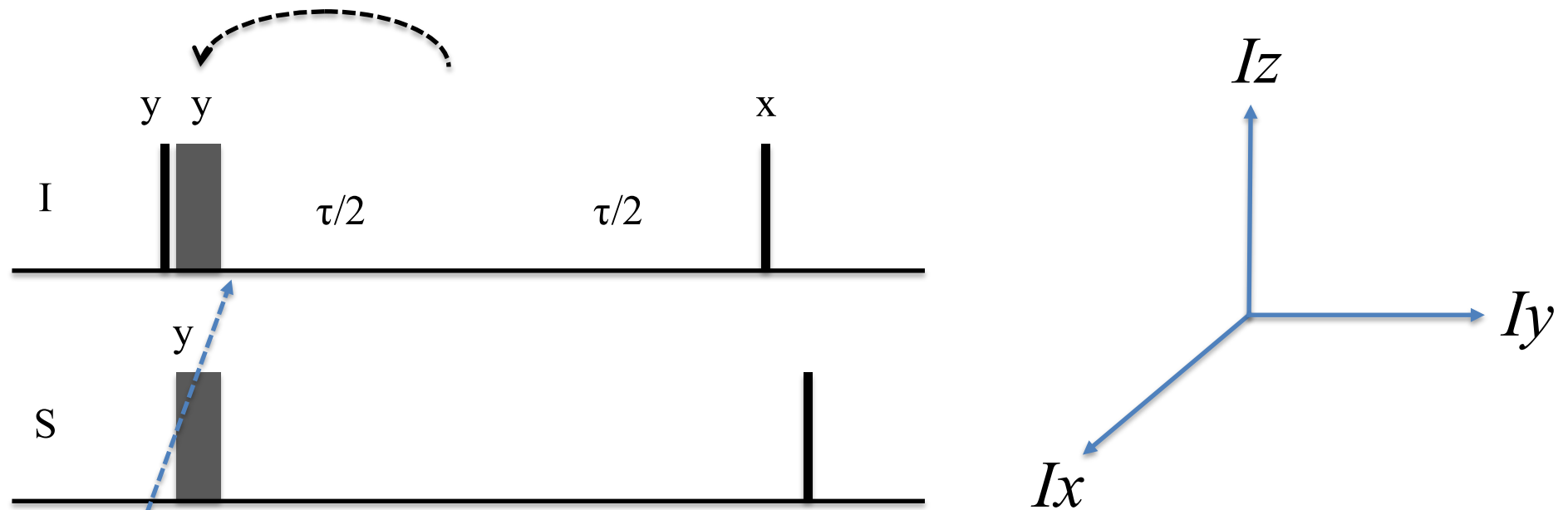
磁化ベクトルではなく、ハミルトニアンが回転させられた

$$\exp \left\{ i \left(-\omega_I \cdot I_z - \omega_S \cdot S_z + \pi J \cdot 2I_z S_z \right) \frac{\tau}{2} \right\}$$



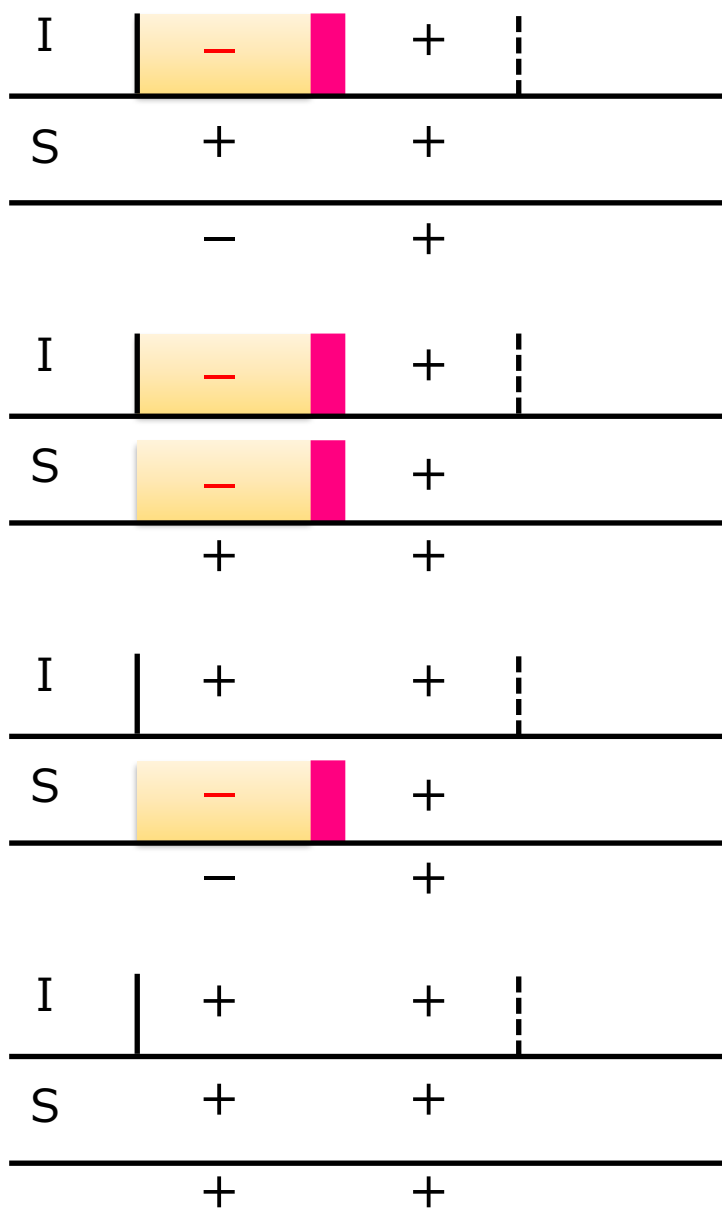
$$\exp \left\{ i \left(+\omega_I \cdot I_z + \omega_S \cdot S_z + \pi J \cdot 2I_z S_z \right) \frac{\tau}{2} \right\}$$

π パルスを左にずらしたら回転軸が逆になると考えても同じ



$$-I_x \rightarrow -I_x \cos(\pi J \tau) - 2I_y S_z \sin(\pi J \tau)$$

スタートの磁化ベクトルは、厳密には $-I_x$ になる

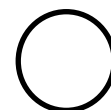
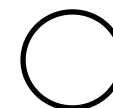


ωI_z $2\pi J I_z S_z$
I の化学シフト *I-S* の *J* カップリング

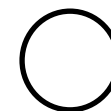
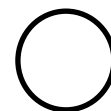
—————

—————

—————



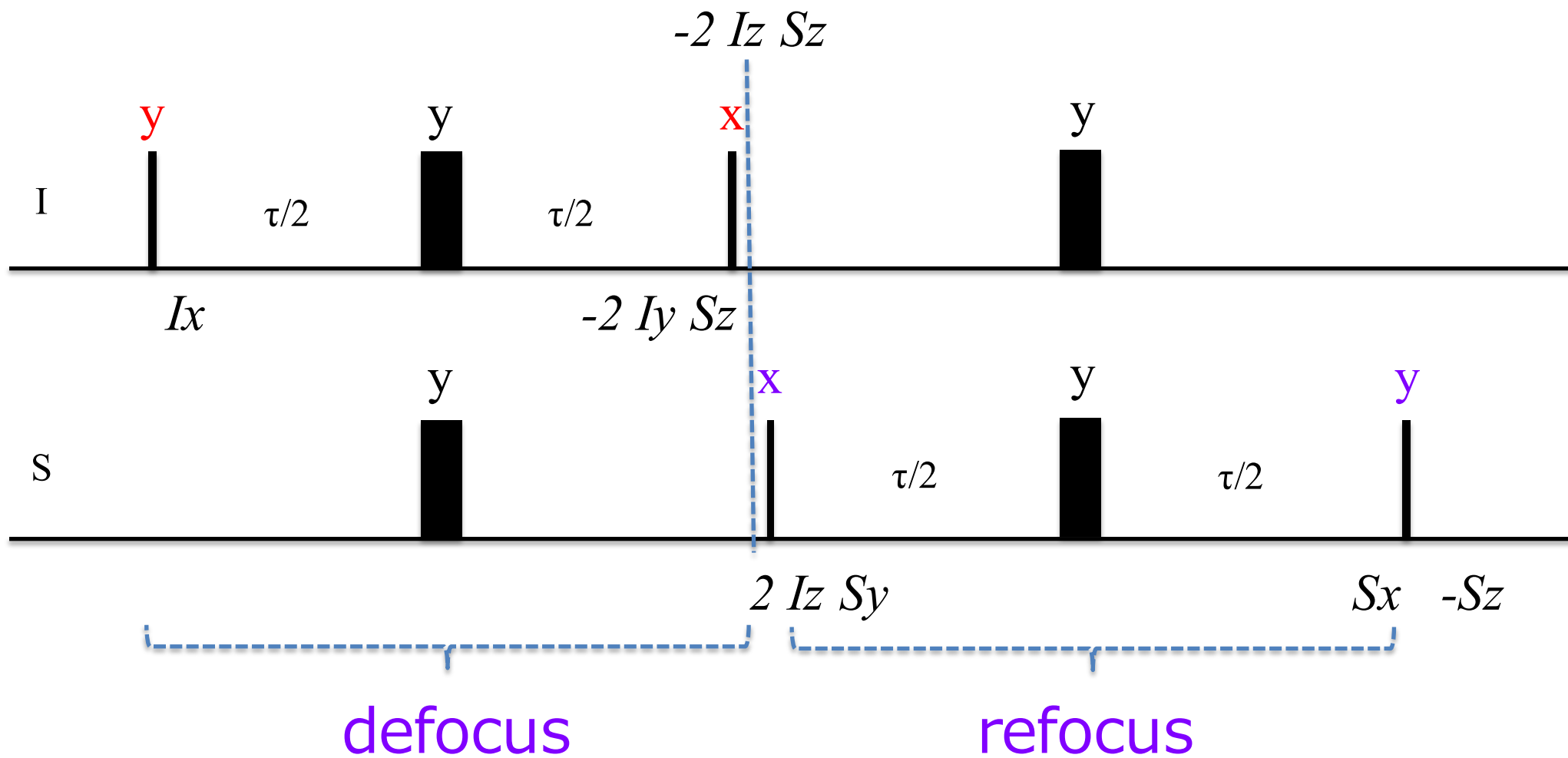
—————



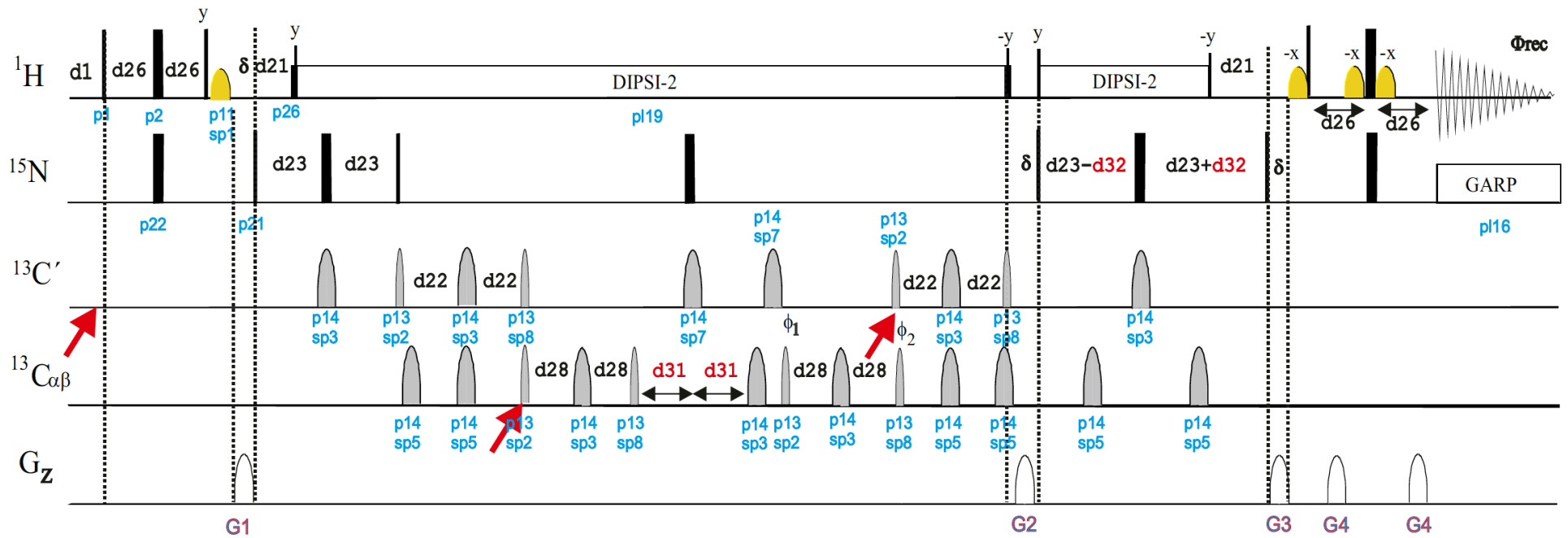
$$(-1) + (+1) = 0$$

$$(-1) \times (-1) = +1$$

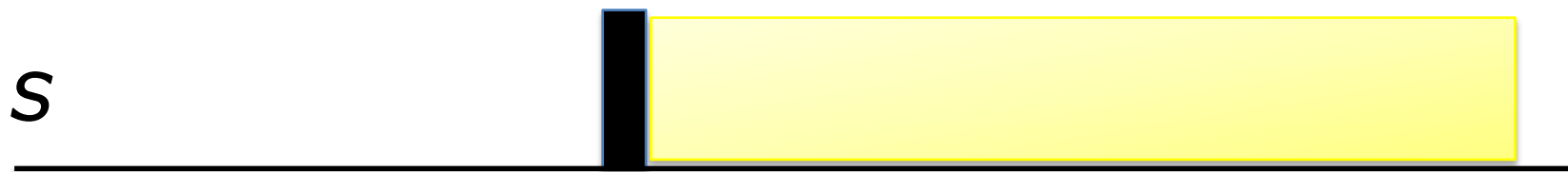
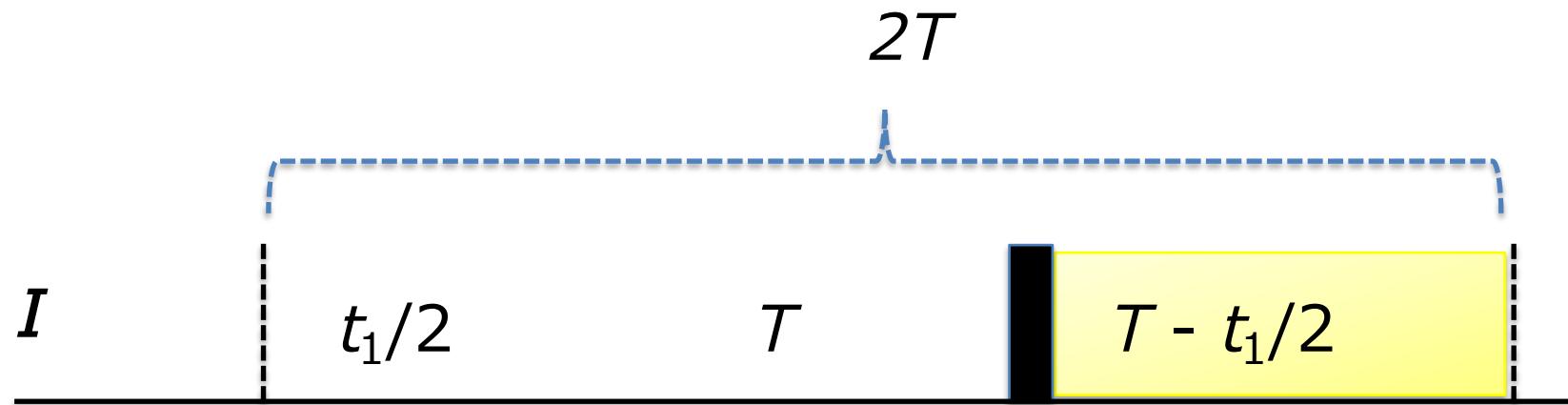
refocused INEPT



rd_hncocacb_32



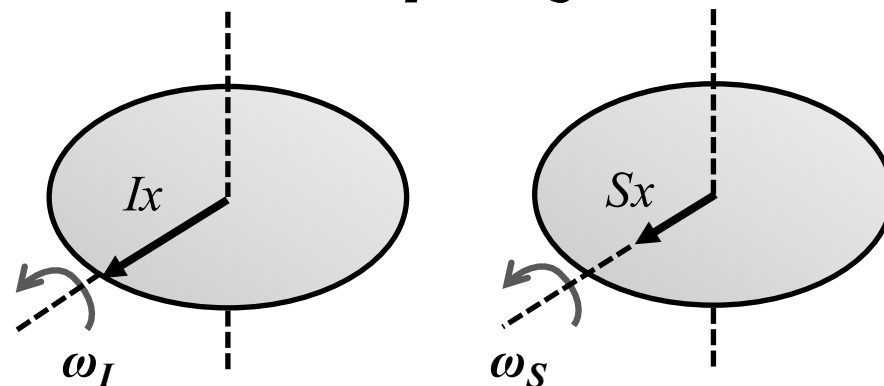
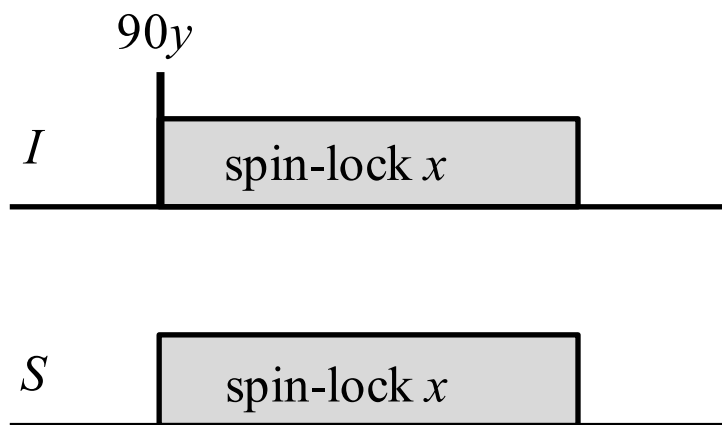
BrukerBioSpin 社のカタログより



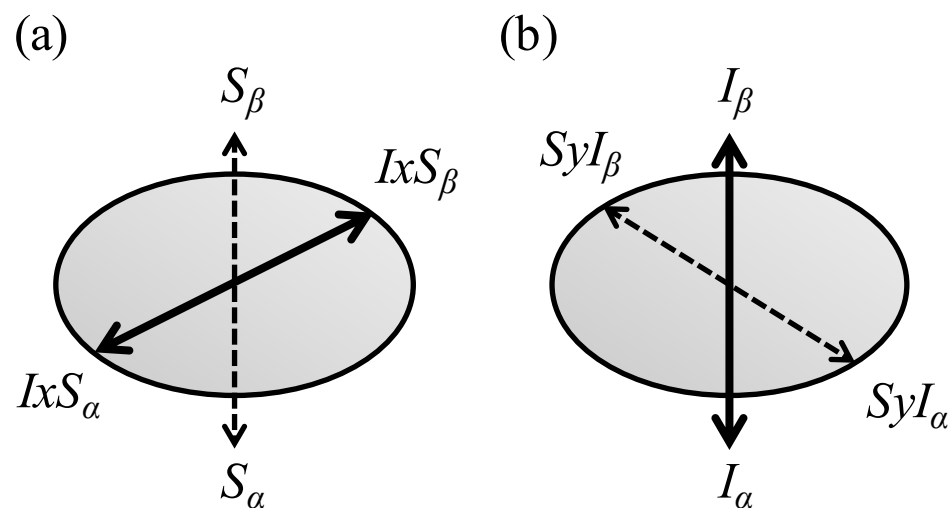
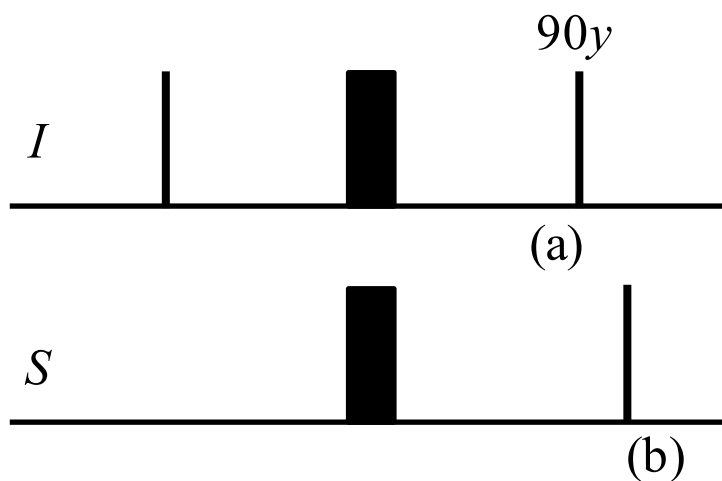
ω_I	+	+	-	t_1
ω_S	+	-	-	Sz
J_{IS}	+	-	+	0

Hartmann-Hahn 条件

$$\omega_I = \omega_S$$



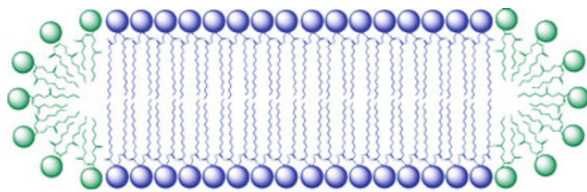
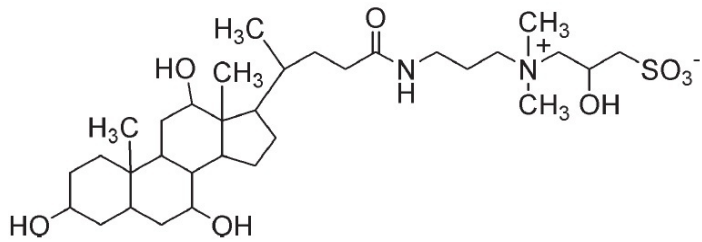
固体 NMR : cross polarization による磁化移動



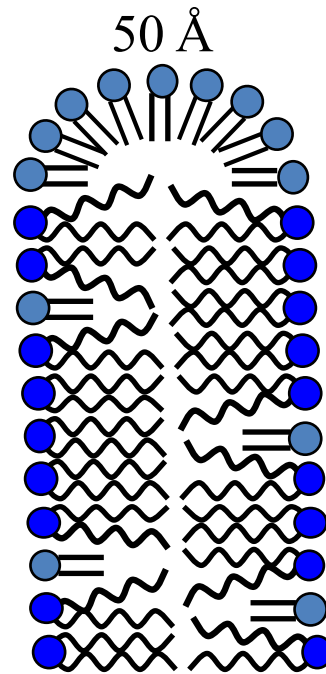
溶液 NMR : INEPT による磁化移動

静磁場中での液晶の配向

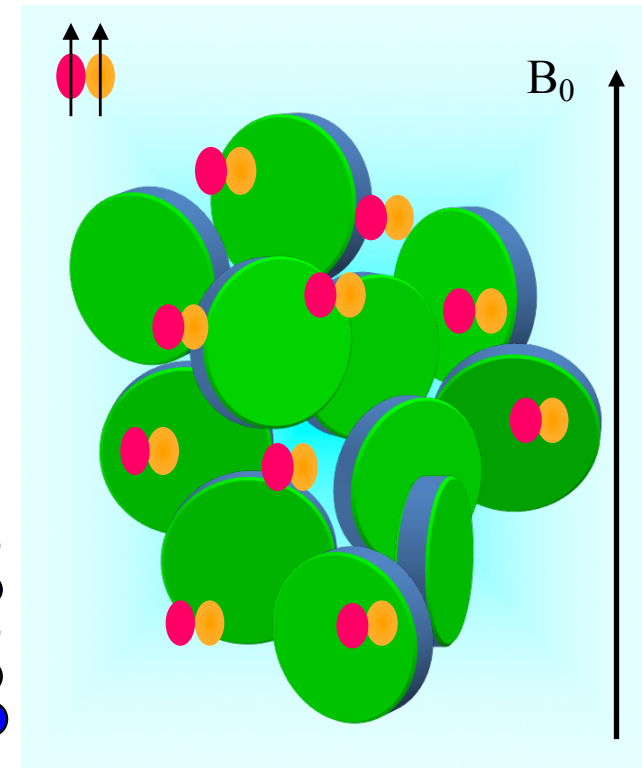
CHAPSO



<p>DMPC</p>	
<p>DHPC</p>	



bicelle



双量子双量子相互作用

$$H_d = \frac{\gamma_I \gamma_S \hbar^2}{r^3} \left[\vec{I} \cdot \vec{S} - 3(\vec{I} \cdot \vec{e}_r)(\vec{S} \cdot \vec{e}_r) \right]$$

$$H_d = \frac{\gamma_I \gamma_S \hbar^2}{r^3} (A + B + C + D + E + F)$$

同種核の split = 1.5 * 異種核の split

$$A = I_Z S_Z (1 - 3 \cos^2 \theta) \quad \text{異種核} \quad \text{同種核}$$

$$B = -\frac{1}{4} (I^+ S^- + I^- S^+) (1 - 3 \cos^2 \theta) \quad \text{同種核}$$

$$C = -\frac{3}{2} (I^+ S_Z + I_Z S^+) \sin \theta \cos \theta \exp(-i\varphi)$$

$$D = -\frac{3}{2} (I^- S_Z + I_Z S^-) \sin \theta \cos \theta \exp(+i\varphi)$$

$$E = -\frac{3}{4} I^+ S^+ \sin^2 \theta \exp(-2i\varphi)$$

$$F = -\frac{3}{4} I^- S^- \sin^2 \theta \exp(+2i\varphi)$$

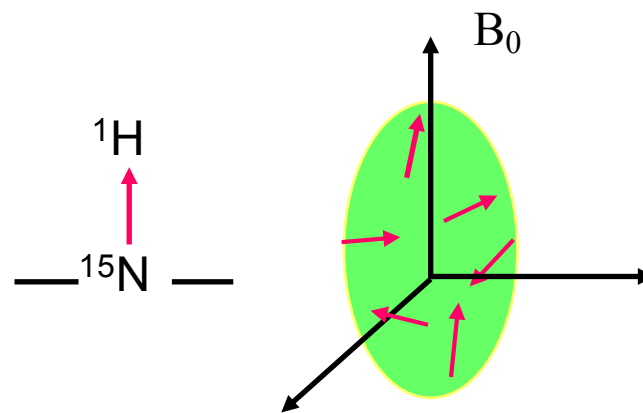
RDC : ピーク位置

横緩和 : ピークの線幅

J も $I_Z S_Z$ を含む

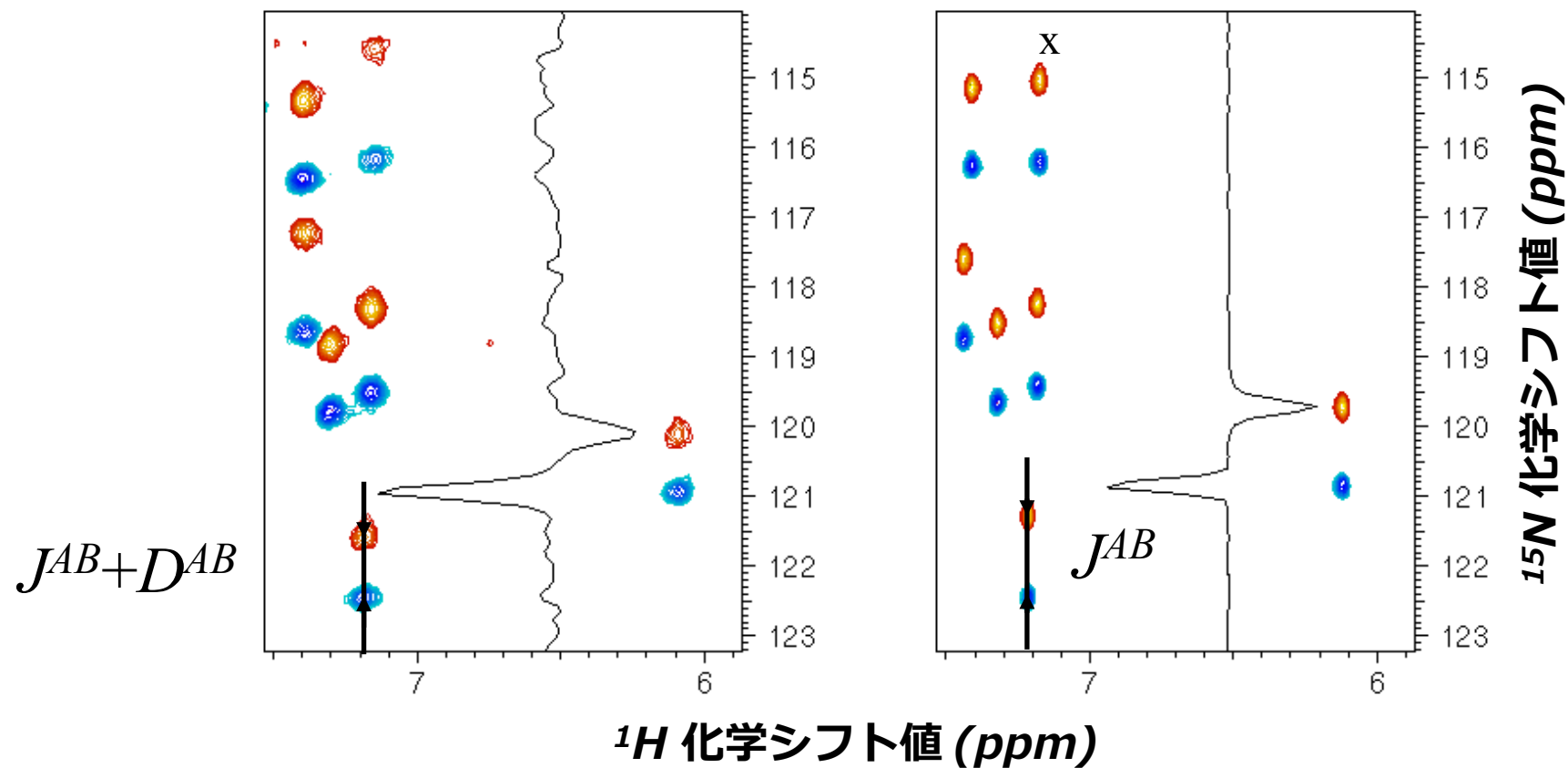
残余双極子間相互作用

Residual dipolar coupling
(RDC)

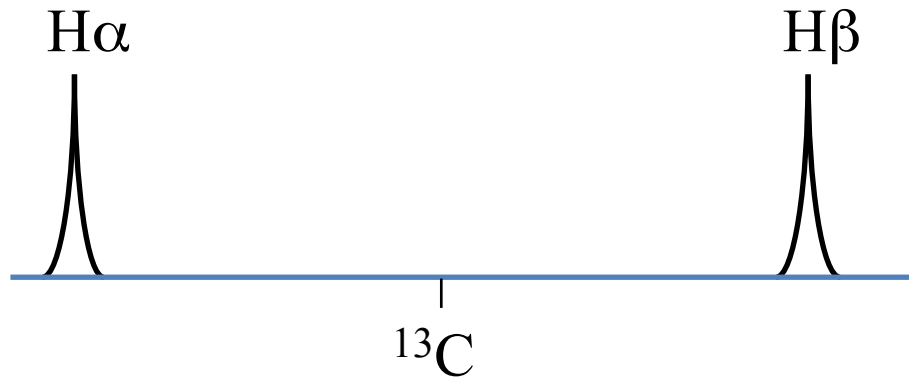


異方的溶媒 (配向)

等方的溶媒



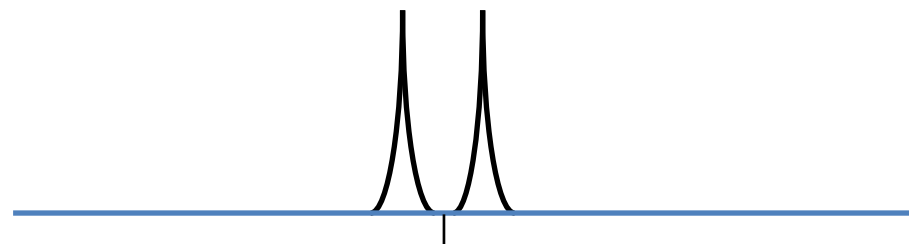
{ 99.95% 溶液 + 0.05% 固体 } NMR



分子が止まっている時

100% 配向

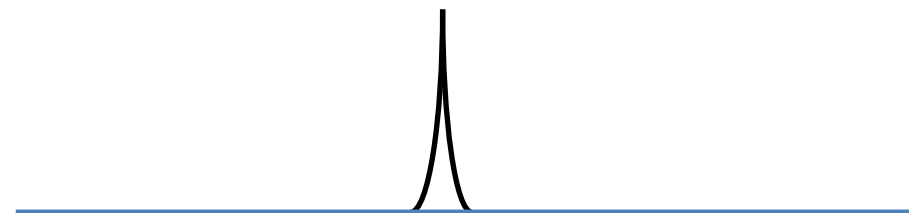
例： $^1\text{H}-^{13}\text{C}$ 46,000 Hz



分子が静磁場方向に対してほんの少しだけ配向している時

0.05% 配向

例： $^1\text{H}-^{13}\text{C}$ 23 Hz



分子が静磁場方向とは無関係に等方的に回っている時

0% 配向

例： $^1\text{H}-^{13}\text{C}$ 0 Hz

まとめ

- 溶液内では DD や CSA は平均化されるため、それらによってピーク位置は動かない（分裂しない）
- 溶液 NMR の（異種核） $\delta_I \delta_S J_{IS}$ はそれぞれ別々に計算できるので、直積演算子が便利である
- π パルスを I スピンに打つと δ_I の効果は反転する
- π パルスを I スピン片方だけに打つと J_{IS} （異種核）の効果は反転する
- 溶液 NMR では主に $INEPT$ （とその時間反転）をブロックとしてパルス系列が組み立てられている
- 残余双極子間相互作用 D_{IS} （異種核）は J_{IS} の式と同じく $I_z S_z$ の項からなるため、両者が足し合わされた分裂幅のピークとして現れる ($D_{IS} + J_{IS}$)

原稿をチェックしてくださった栗田順一先生（横浜市大）にお礼申し上げます。